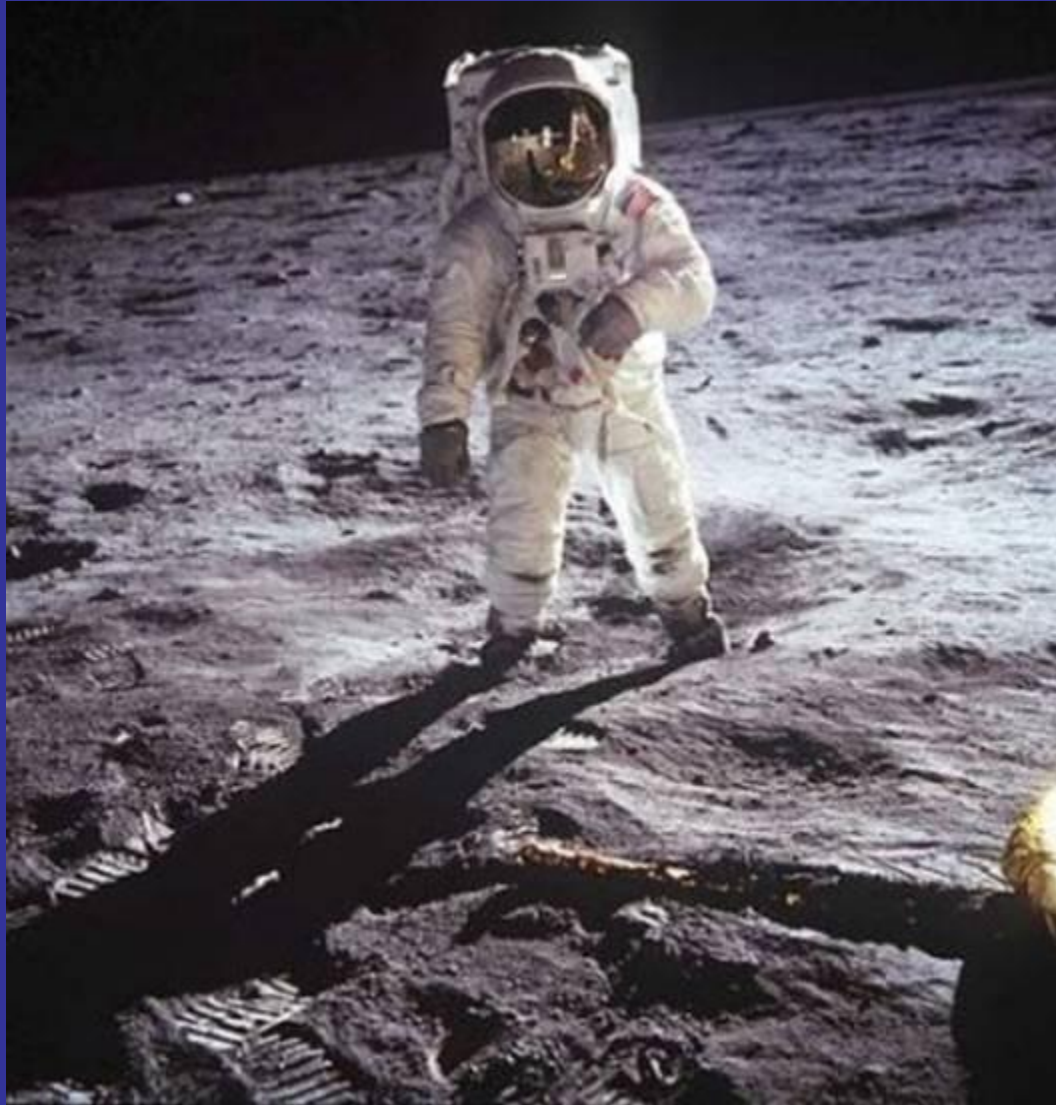


MODENA 23 -03- 2011

**ENDOCRINOLOGIA:
UNA VENTATA DI GIOVINEZZA
NELLA MEDICINA**



Scoperta della Luna: 20 luglio 1969

Sigla o simbolo	Nome	Valore decimale	Fattore moltiplicativo
G	Grammo	1	
Mg	milligrammo	0,001 (un millesimo di grammo)	10^{-3} grammi
mcg o mg	microgrammo	0,000001 (un milionesimo di grammo)	10^{-6} grammi
Ng	nanogrammo	0,000000001 (un miliardesimo di grammo)	10^{-9} grammi
Pg	picogrammo	0,000000000001 g	10^{-12} grammi
Fg	fentogrammo	0,000000000000001 g	10^{-15} grammi
Ag	attogrammo	0,000000000000000001 g	10^{-18} grammi

PATOLOGIE TIROIDEE



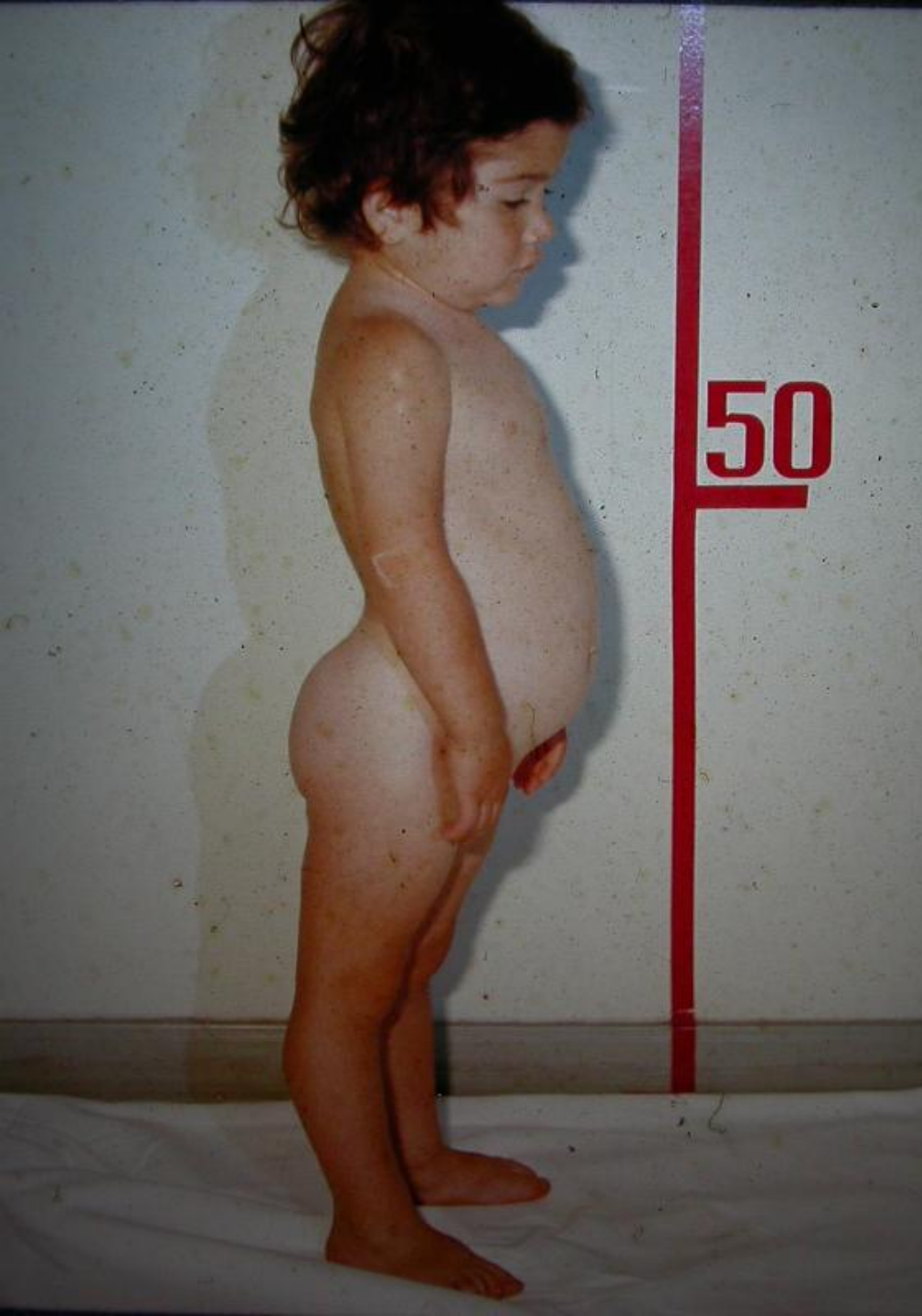
Da “Madonna della pappa” Mazzoni

Cretinismo da ipotiroidismo congenito

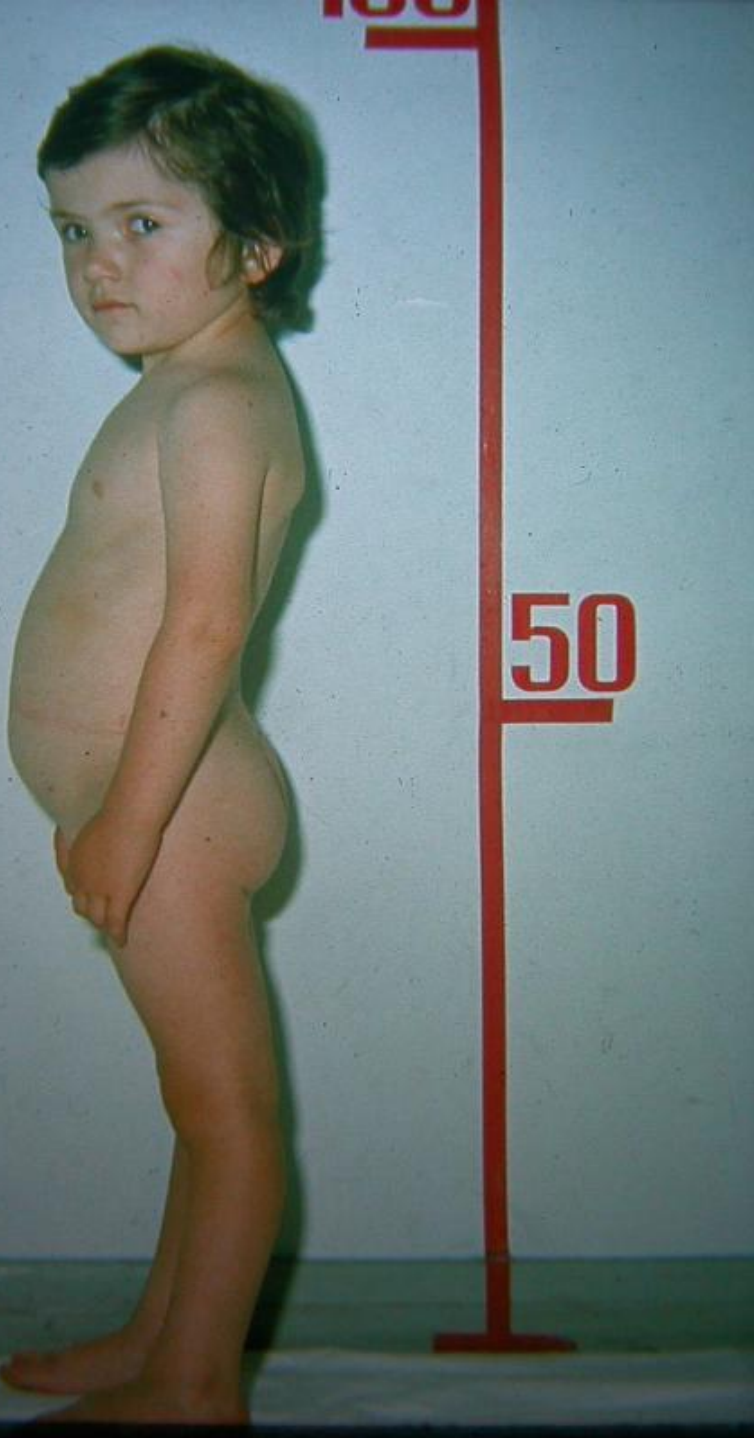
A.A: Anni 18, cm 112

- Legge 5 febbraio 1992, n. 104 disciplina “nel periodo neonatale, gli accertamenti utili alla diagnosi precoce delle malformazioni e l’obbligatorietà del controllo per l’individuazione ed il tempestivo trattamento dell’ipotiroidismo congenito”
- dosaggio di TSH ed fT4 su siero prelevato da cordone ombelicale del neonato





Ipotiroidismo
Congenito



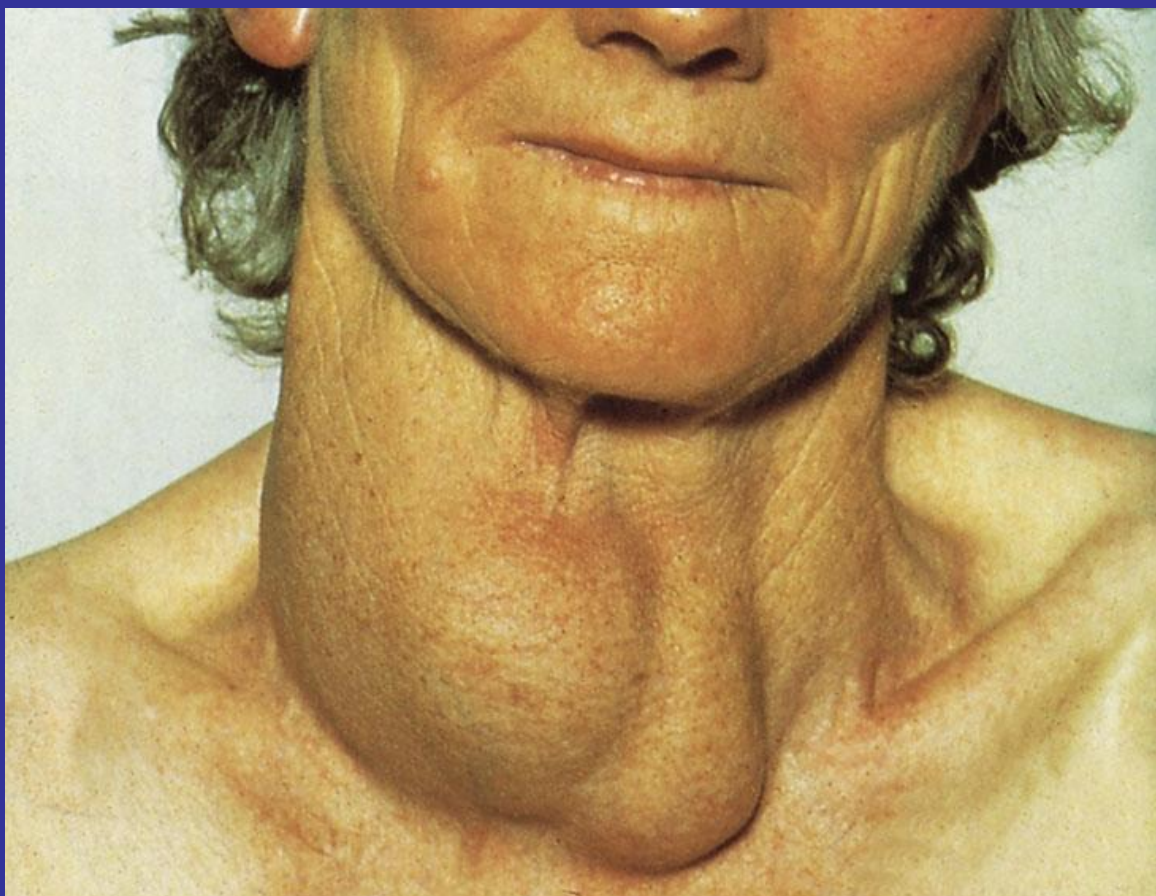
Ipotiroidismo Congenito
in terapia tiroxinica



Pere Borrel del Caso, 1874



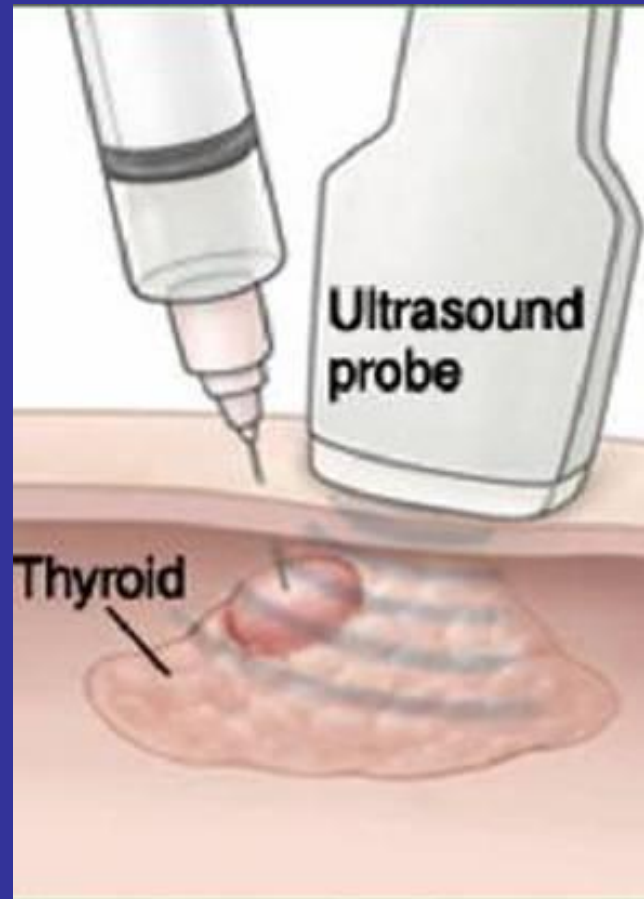
Madonna con bambino addormentato, Mantegna



**Comprehensive Clinical Endocrinology 3e: edited by Besser & Thorner
Elsevier Science Ltd**

Agoaspirato tiroideo ecoguidato (FNA)

- Nodulo con diametro ≥ 1 cm
- Nodulo con diametro ≥ 5 mm con caratteristiche ecografiche sospette
- Pazienti a rischio: MEN, familiarità per k tiroideo, irradiazione del collo



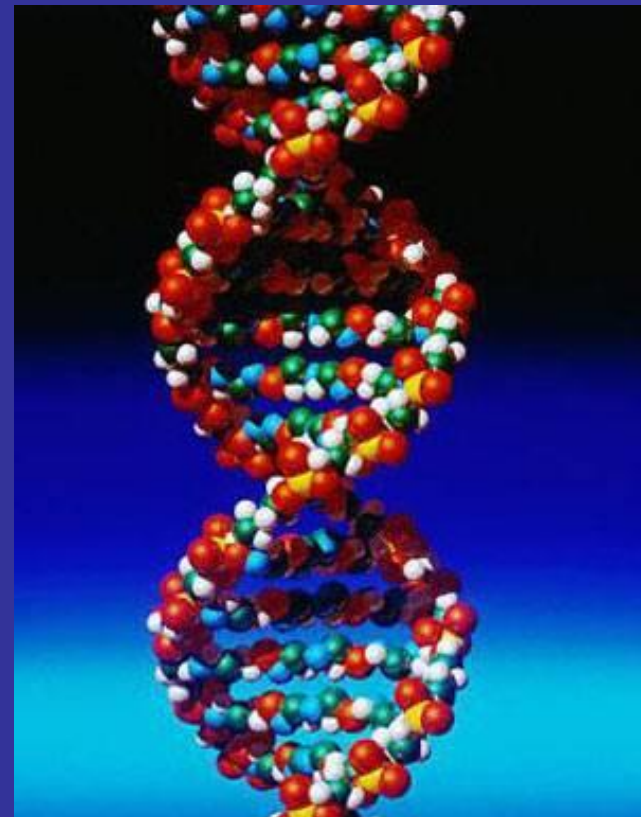
Analisi gene BRAF

Diagnosi precoce del carcinoma papillare della tiroide

Mutazione con prevalenza variabile dal 30 al 83% nei carcinomi papillari (PTCs)

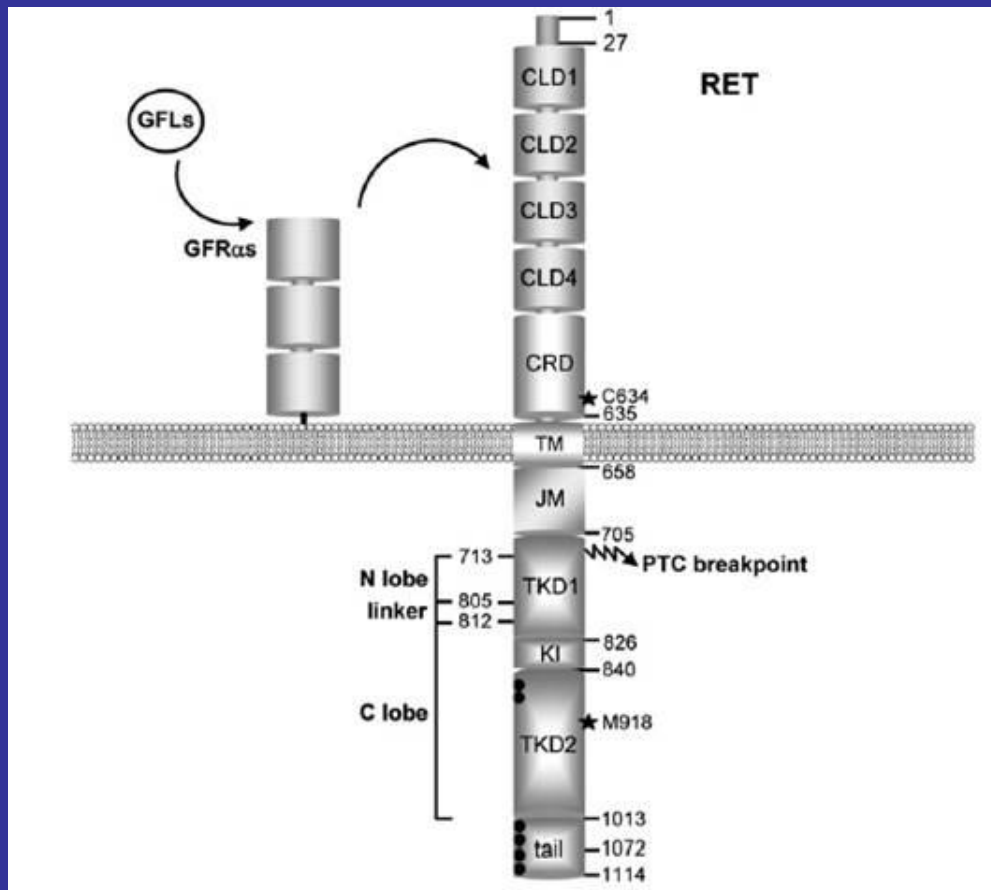
Mutazione associata a fenotipo aggressivo: invasione extra-tiroidea, metastasi linfonodali, stadio avanzato (III/IV)

Associazione citologia tiroidea + analisi molecolare di BRAF incrementa l'accuratezza diagnostica per PTCs dal 60 % all'80 %



Kam-Tsun Tang et al., BRAF mutation in papillary thyroid carcinoma: pathogenic role and clinical implication. J Chin Med Assoc 2010: 10;113 -128

Analisi gene RET Diagnosi genetica del carcinoma midollare della tiroide



Schema della proteina RET, con evidenza del punto di rottura responsabile della successiva formazione dei riarrangiamenti RET/PTC

(Endocrinol Metab Clin N Am, 2008;37:363-374)

NANISMI



Foto M. Lira
expressnews.it

Evoluzione staturale

Uomo preistorico	164 cm
Mummia egiziana	167 cm
Soldato napoleonico	165 cm
Coscritti italiani	
1880	164 cm
1970	171 cm
2000	175 cm



ACCRESCIMENTO PROGRESSIVO DELLA SPECIE UMANA

In 100 anni le ragazze hanno anticipato il menarca di 4 anni

16 anni → 12 anni

Differential diagnoses by short stature

Constitutional Growth Delay

Family Short Stature

Combination of the previous

Nutritional

Hypocaloric

**Chronic inflammatory bowel
disease**

**Malabsorption , Coeliac
disease**

Metabolic

Kidney failure, Liver diseases

Hypoxic, Cardiac

Endocrine

Hypothyroidism

Growth Hormone Deficiency

Hypopituitarism

Excessive cortisol

Precocious puberty

Maternal deprivation

Low birth weight

Small for gestational age

Prematurity

Fetal alcohol syndrome

Bone development disorders

Rickets

Skeletal dysplasias

Chromosome defects

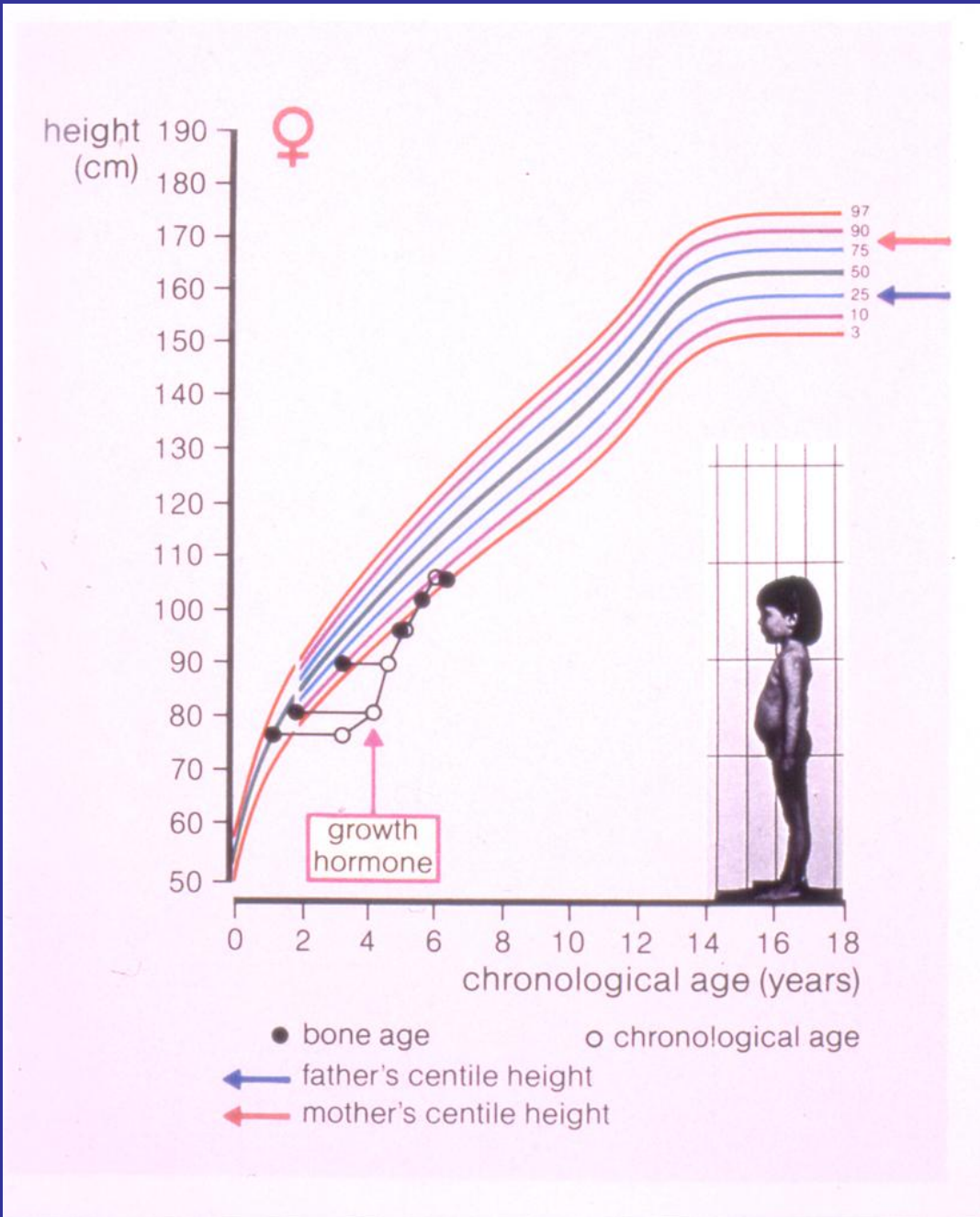
Turner Syndrome

Genetic Syndromes



Deficit di GH

R.A. anni 19, cm 135



NANISMI IPOFISARI

- **Terapia con GH ricombinante**

Iniezioni s.c. giornaliere

- Iniettori a penna
- Siringhe predosate
- Sistemi di autoiniezione

Dose: 0.033 mg/kg/gg (0.1 U/kg/gg)

- **Analoghi Grhelina**

GH secretagoghi, efficacia non provata



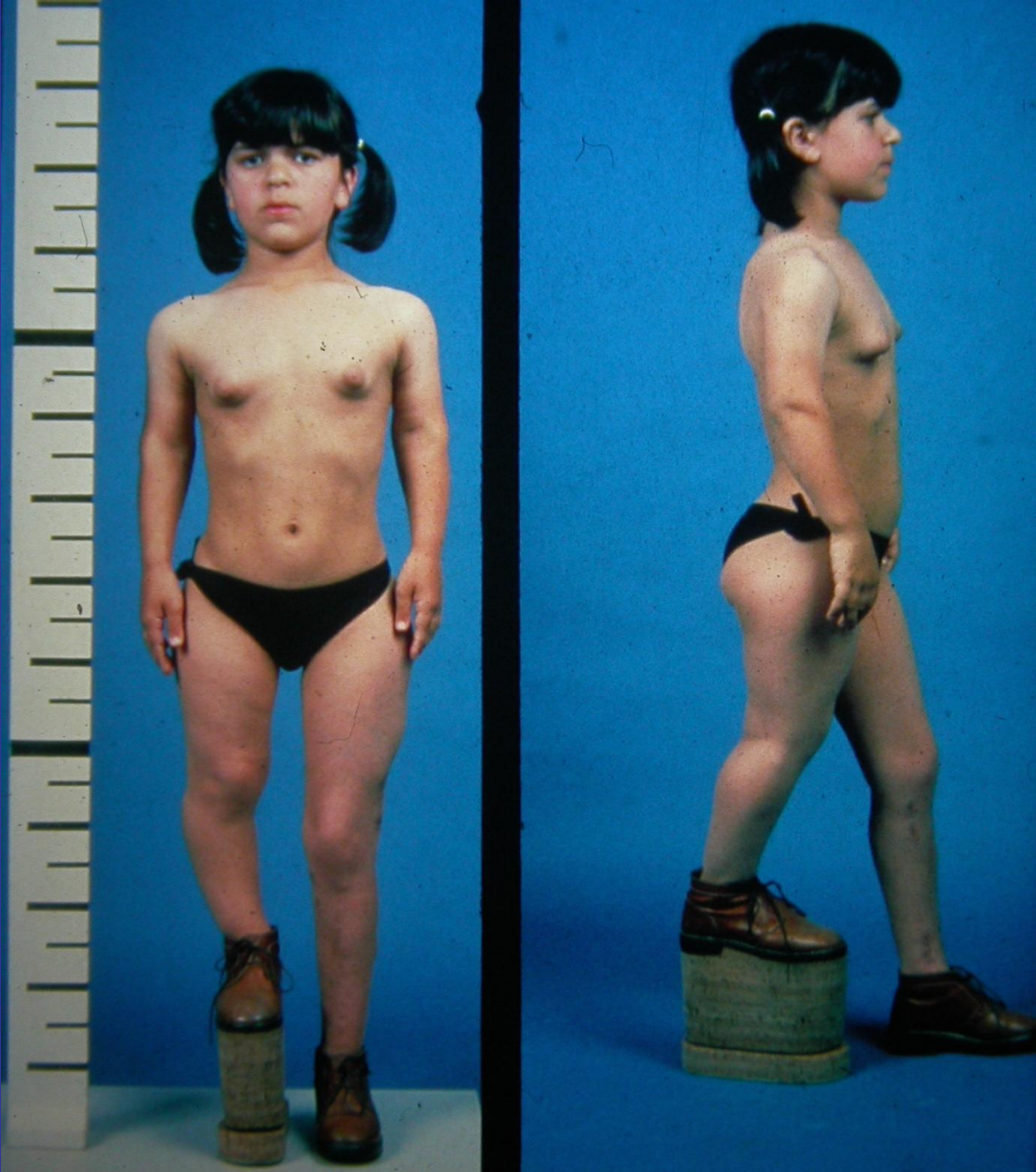
Nanismo da Pubertà precoce vera idiopatica

6 anni e 7 mesi, cm 128

NANISMO ACONDROPLASICO



Mantegna, Camera degli Sposi, Palazzo Ducale, Mantova



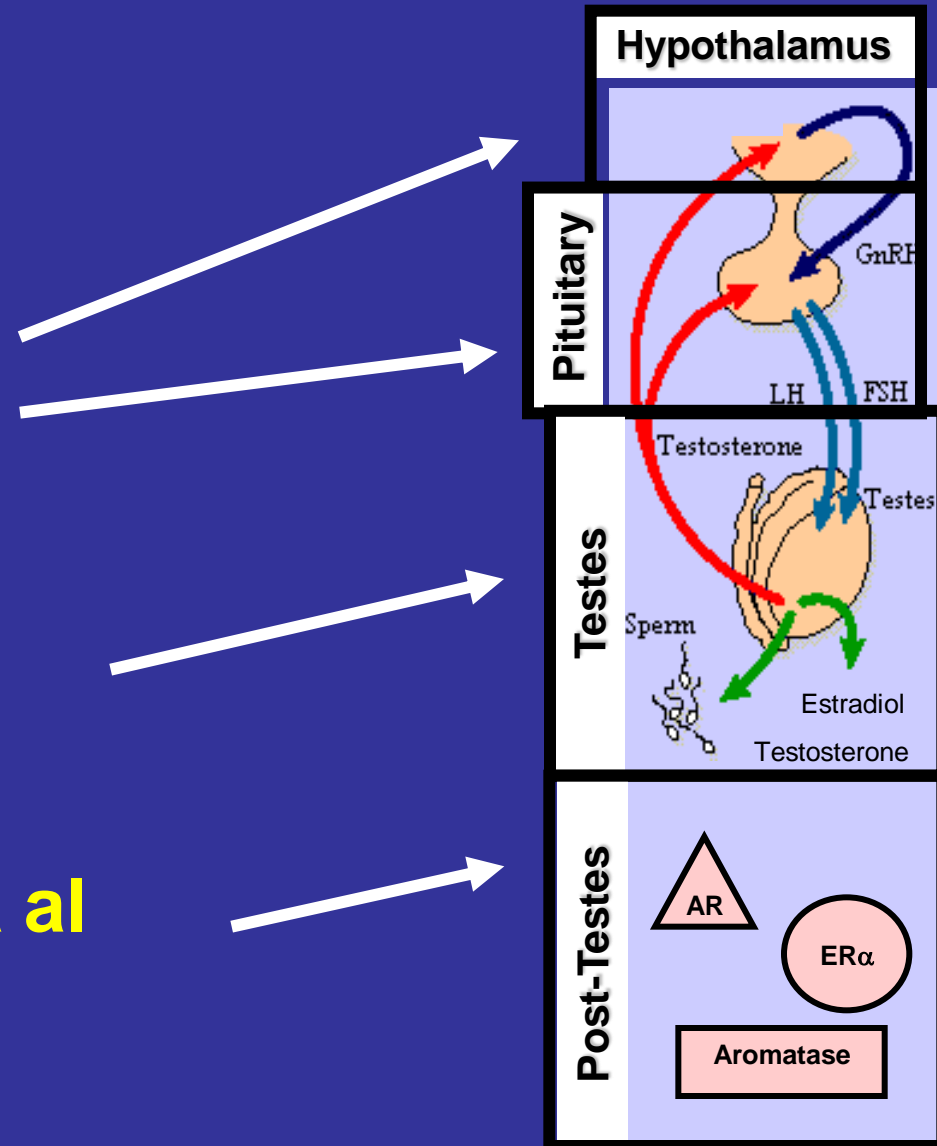
IPOGONADISMO



Eros Farnese, Napoli

IPOGONADISMO

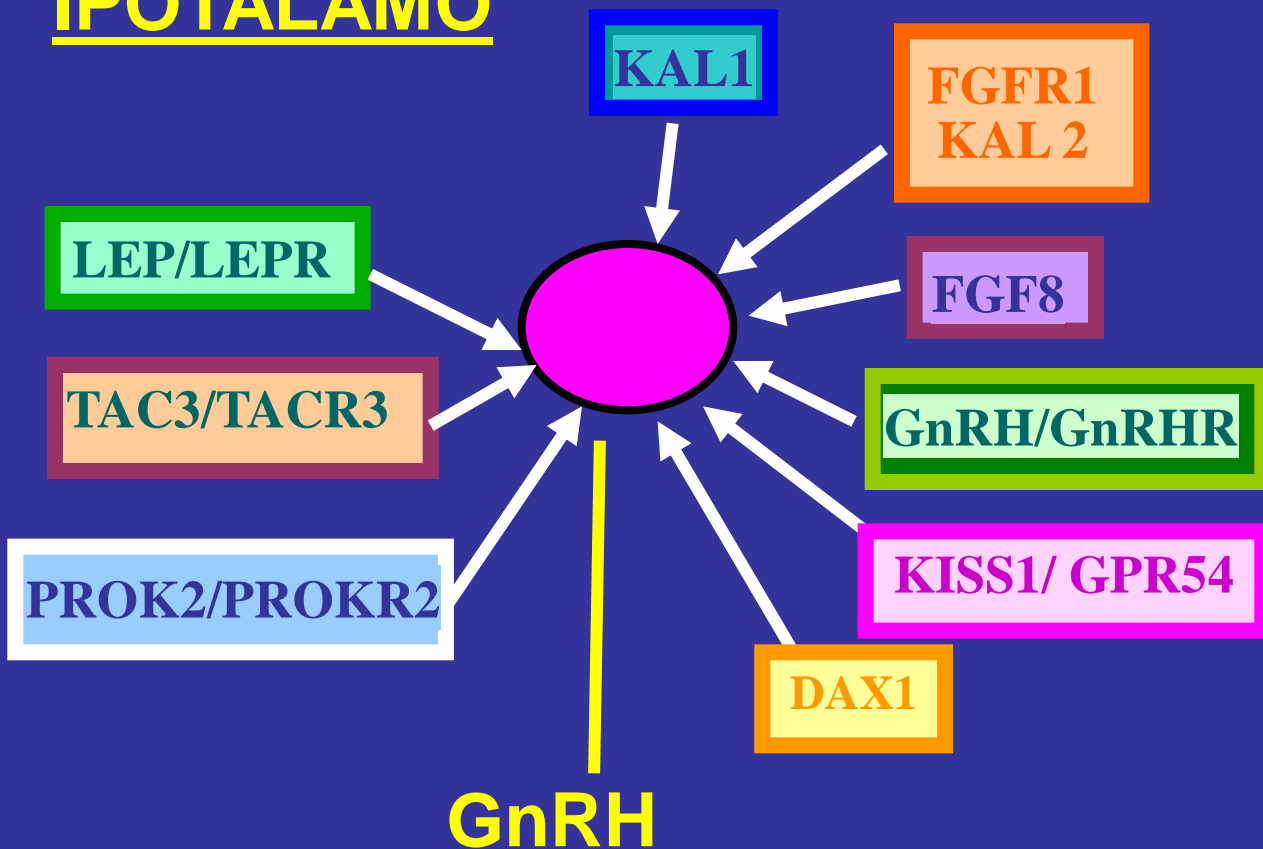
- **Difetti ipotalamici e/o ipofisari**
- **Difetti dei testicoli**
- **Difetti nella risposta al testosterone**



IPOGONADISMO IPOGONADOTROPO

IPOGONADISMO GENETICO

IPOTALAMO



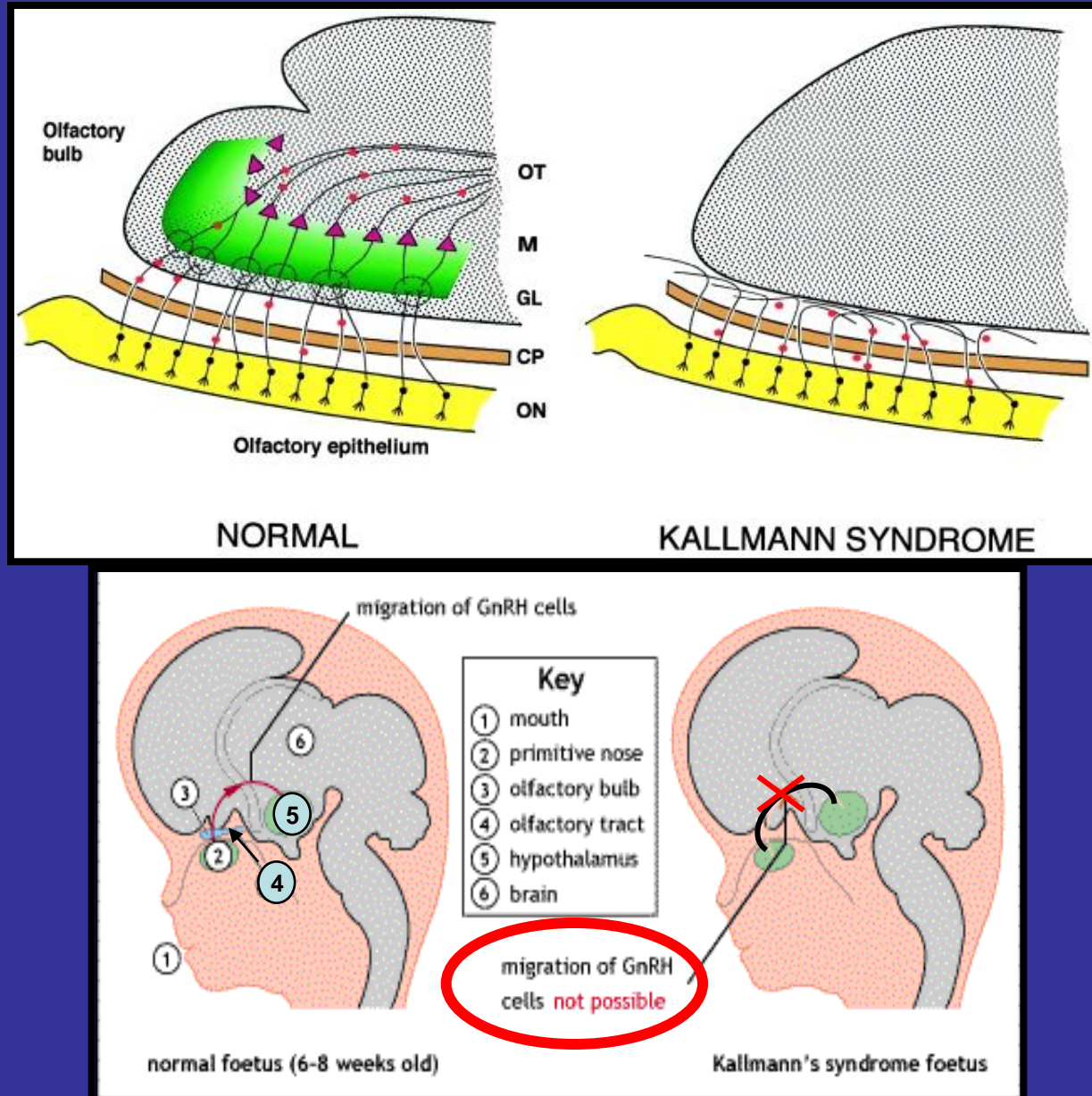
Kallmann Syndrome



Ipo gonadismo e
anosmia

Model for KALLMAN SYNDROME pathogenesis

Failure of the GnRH secreting neurons to migrate from the olfactory epithelium to their final destination in the mediobasal hypothalamus



IPOGONADISMO IPERGONADOTROPO

➤ Congenito

- Sindrome di Klinefelter
- Criptorchidismo
- Altre cause
(genetiche,...)

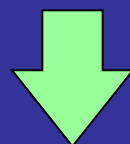
➤ Acquisito

- Varicocele
- Traumi
- Radiazioni
- Chemioterapia e farmaci
- Patologie croniche

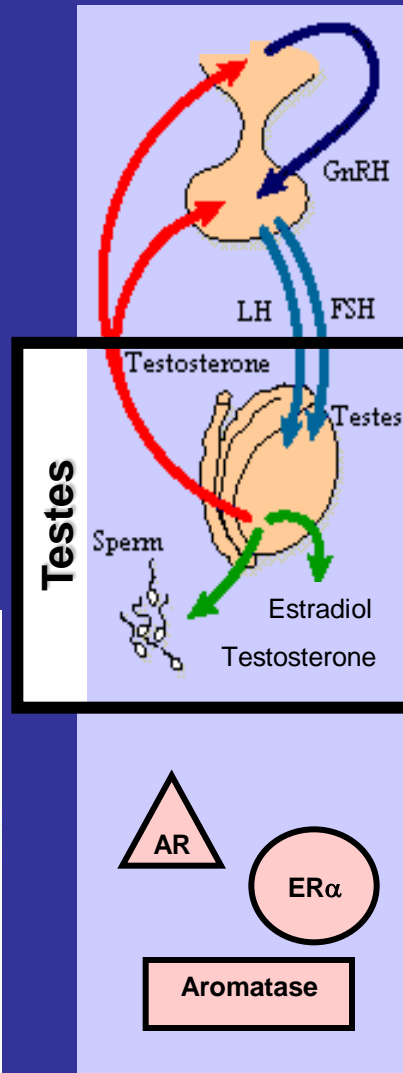
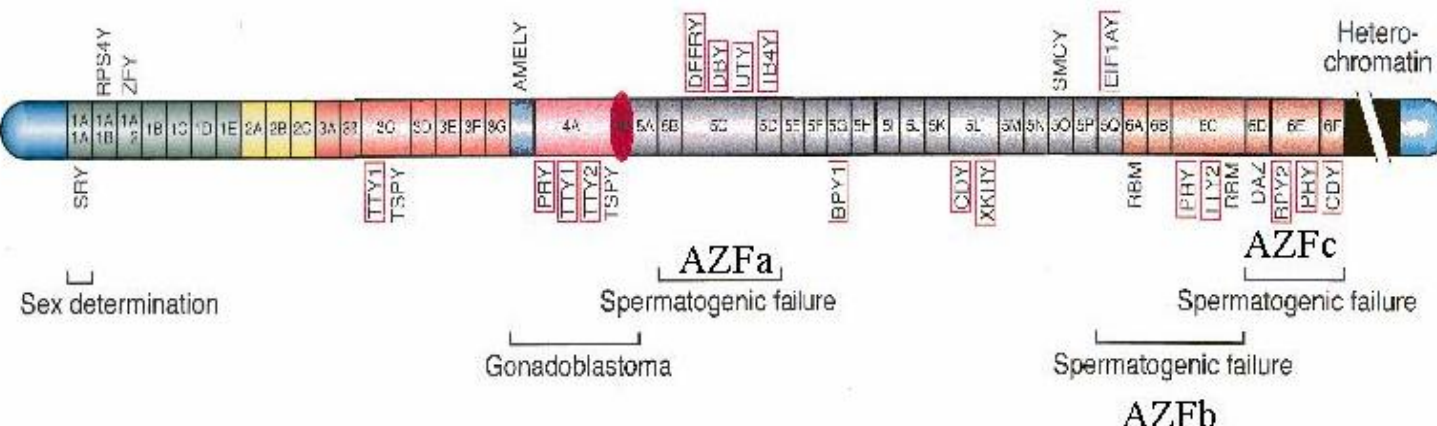
IPOGONADISMO IPERGONADOTROPO

Con virilizzazione normale

- Mutazione AZF del cromosoma Y
- Circa il 3%- 6% degli uomini azoospermici/ severamente oligozoospermici con infertilità idiopatica hanno microdelezioni Yq .



Microdeletions in Y chromosome



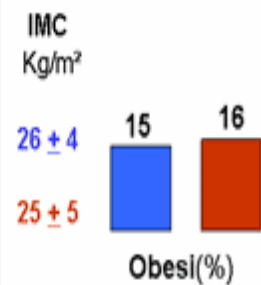
OBESITA'



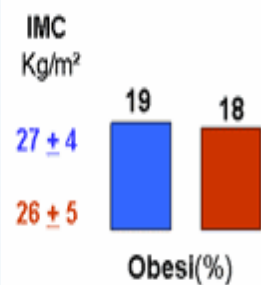
Botero

Obesità in Italia

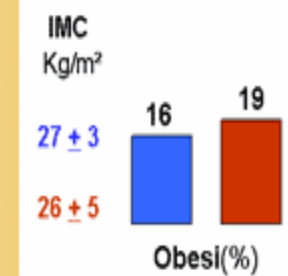
Nord Ovest



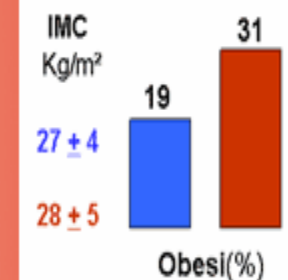
Nord Est



Centro



Sud e Isole



Ultimo aggiornamento del giugno 2006. Dati ISS (progetto cuore)

Cause di obesità

> 95%

assetto
genetico

ambiente

essenziale

secondaria

OBESITA'

< 5%

malattie
endocrine

obesità
da farmaci

disturbi
mentali

malattie
neurologiche

forme
genetiche

L'obesità essenziale di per se' non è una malattia



In passato condizione
protettiva nei confronti di:

- Epidemie
- Carestie
- Malattie carenziali
- Malattie intercorrenti

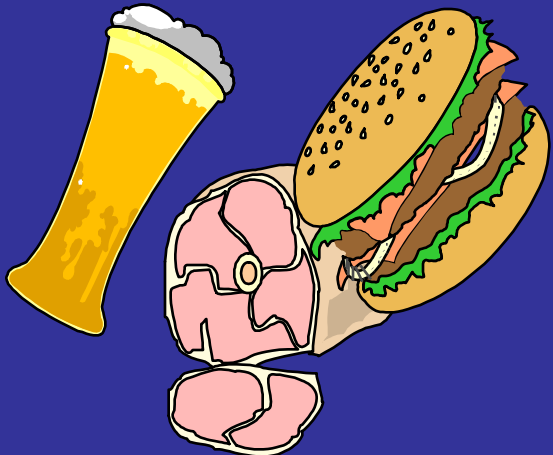


Oggi condizione
favorente nei confronti di:

- Malattie cardiovascolari
- Malattie metaboliche
- Malattie osteoarticolari

Fisiologia dell'aumento di peso

Input energetico



Output energetico



Fattori di controllo

Fattori genetici
Dieta

Esercizio
Metabolismo basale
Termogenesi

Terapia dell'obesità

- **Modificazione dello stile di vita**
 - Restrizione calorica
 - Aumento dell'attività fisica
- **Supporto farmacologico**
- **Approccio Chirurgico**

Riservato a pazienti con BMI ≥ 35 (Kg/m²) e due o più fattori di rischio, oppure con BMI superiore a 40 (Kg/m²) che hanno tentato senza successo di perdere peso per 6 mesi

MAGREZZA



Giacometti, Grande femme III



DISTURBI DEL COMPORTAMENTO ALIMENTARE

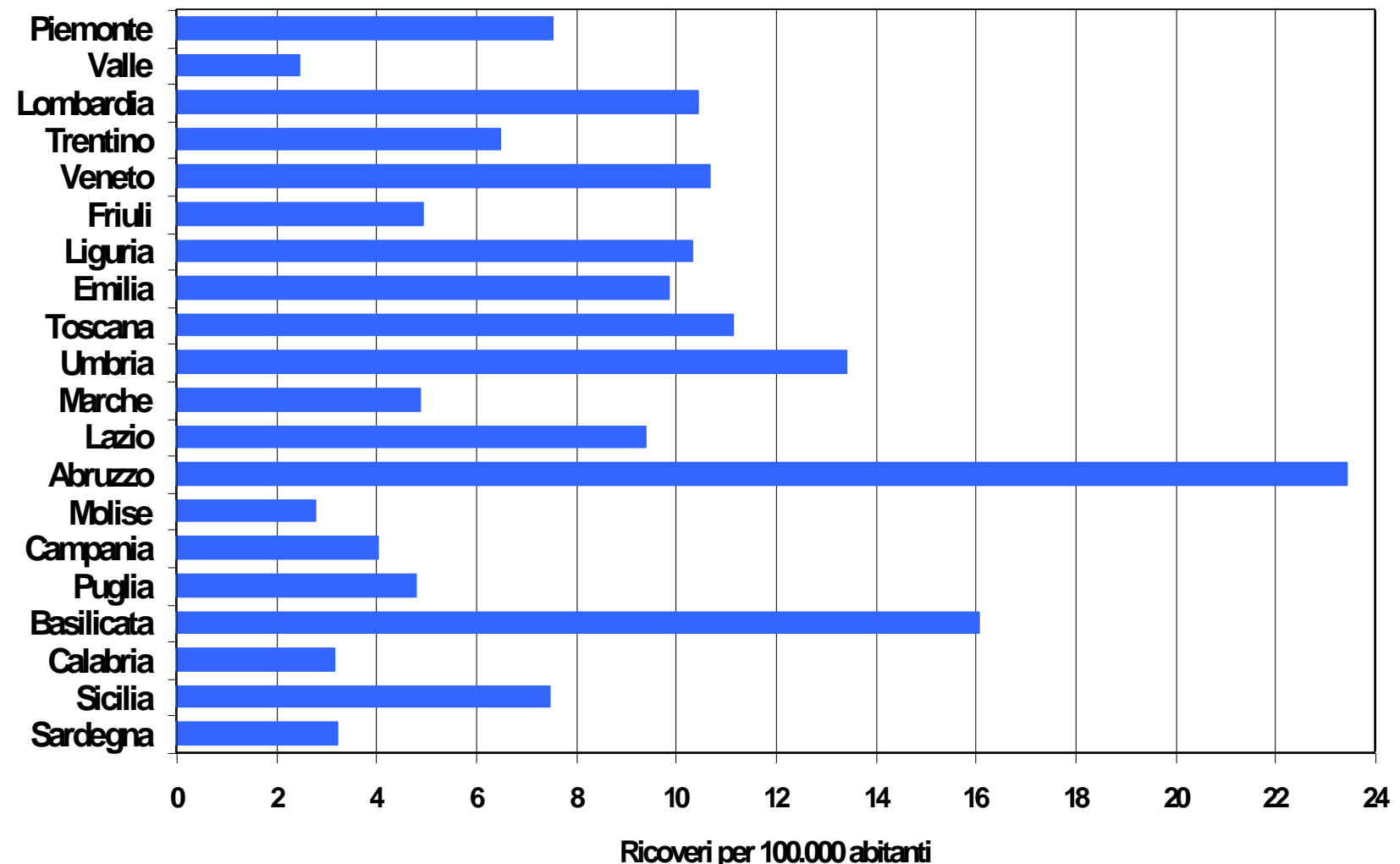
In Italia

- Significativo aumento di incidenza e prevalenza a partire dagli anni 70
- Prevalenza in Italia:
 - ✓ Anoressia nervosa: 0,2-0,8%
 - ✓ Bulimia nervosa: 1-5%
- Età media all'esordio: tra 15 e 18, con due picchi (a 15 e 18 anni)

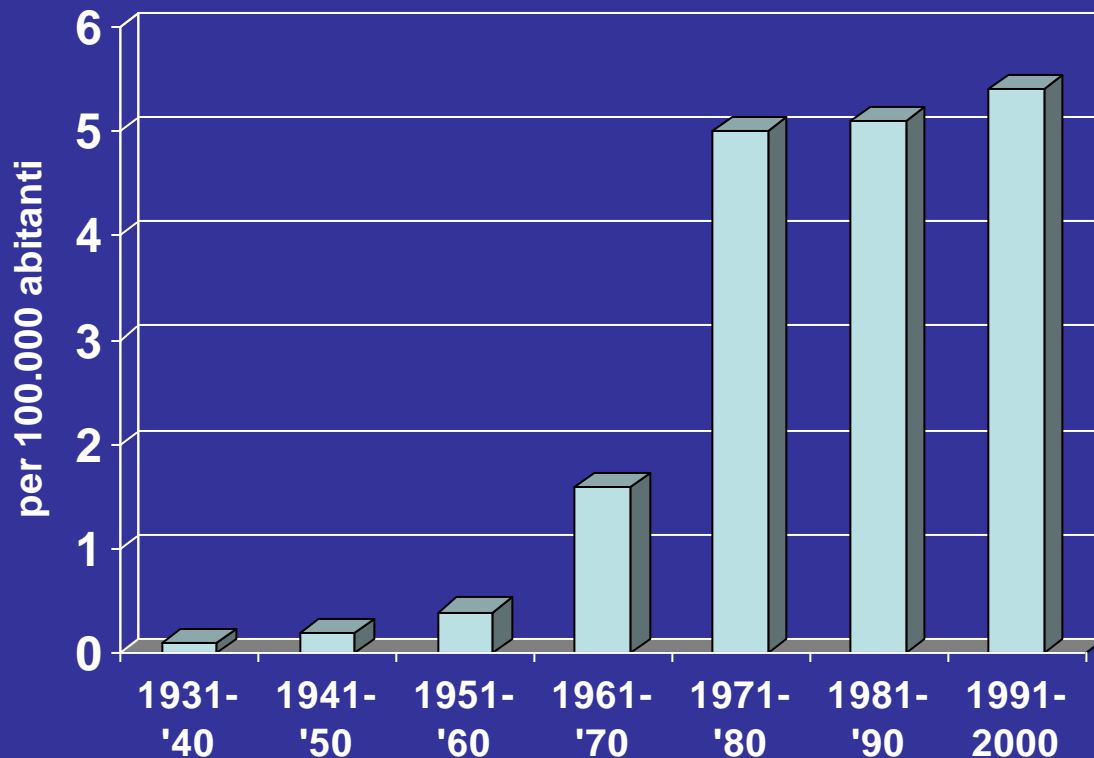
(Fonte: Istituto Superiore Sanità, 2008)

Ricoveri nell'anno 2003 per Anoressia Nervosa

Ricoveri ordinari e Day Hospital. Tasso per 100.000 abitanti



Incidenza annuale di anoressia nervosa nei Centri psichiatrici nel Nord Europa



(Hans Wijbrand Hoek. Current Opinion in Psychiatry. Jul 2006)

ACROMEGALIA E GIGANTISMO



Robert Waldow

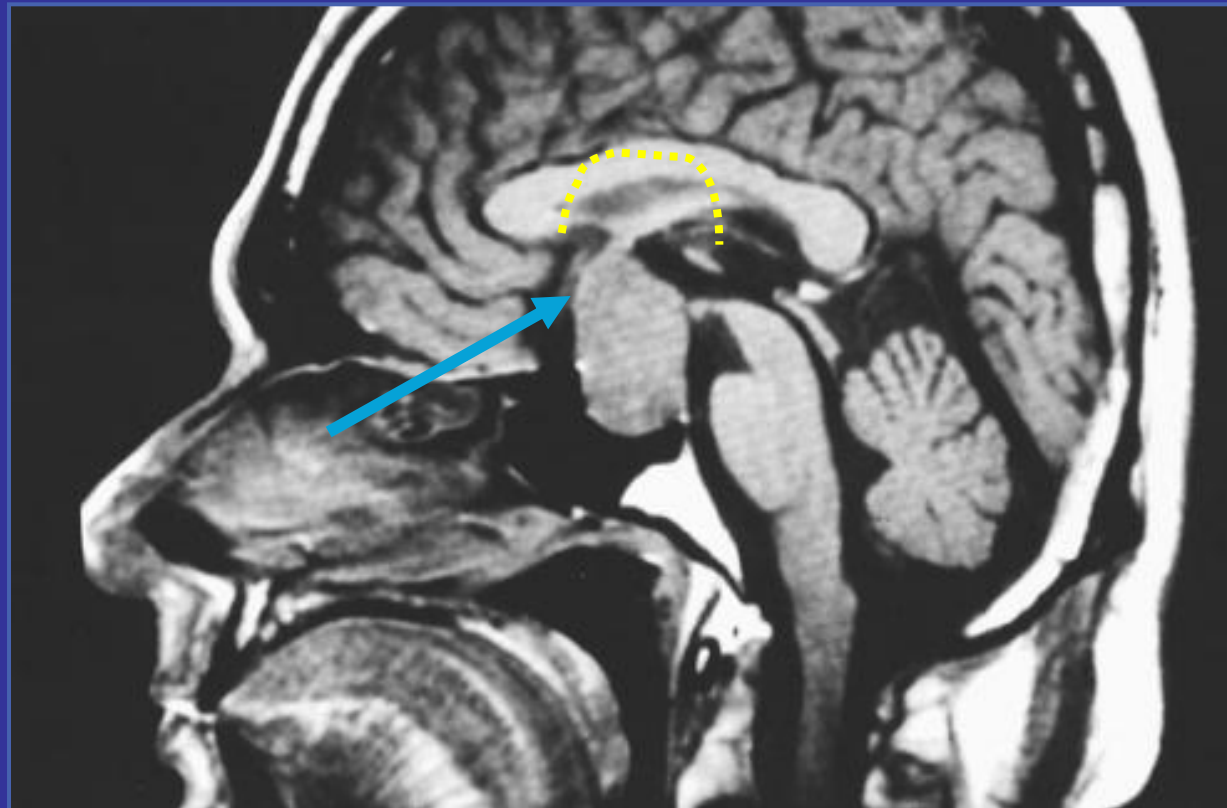


Paziente
acromegalica di
Pierre Marie

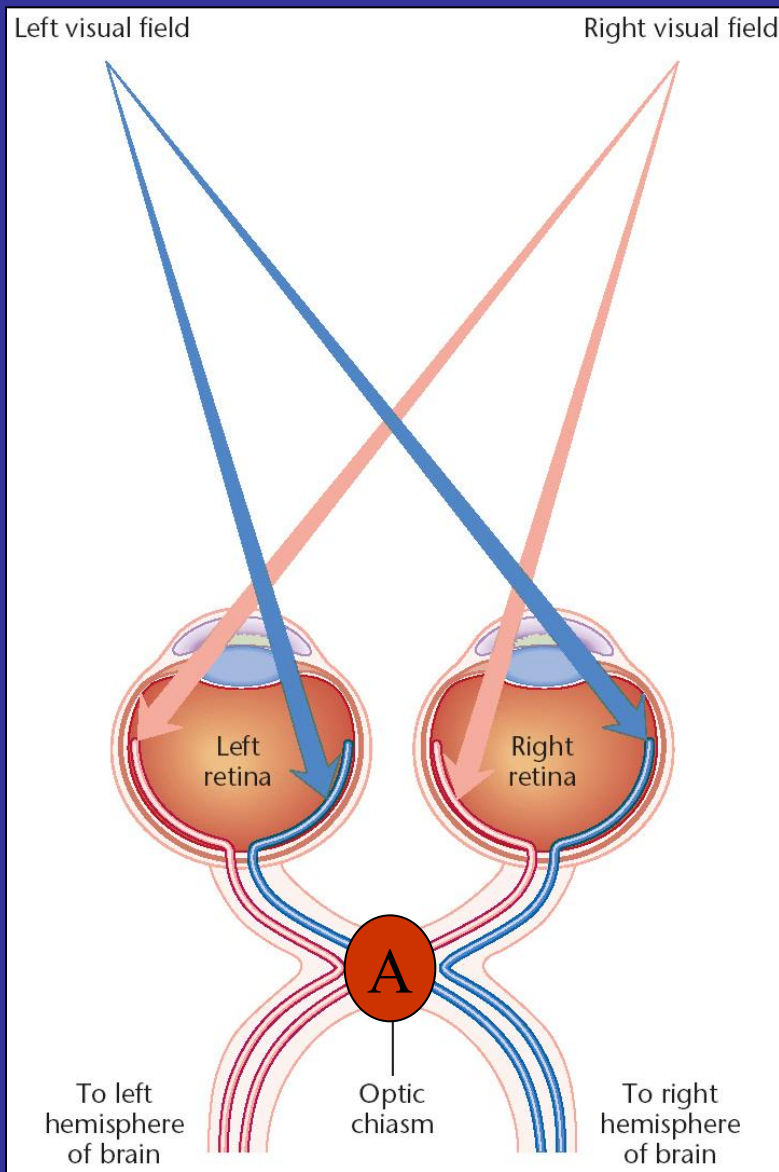
FENOTIPO

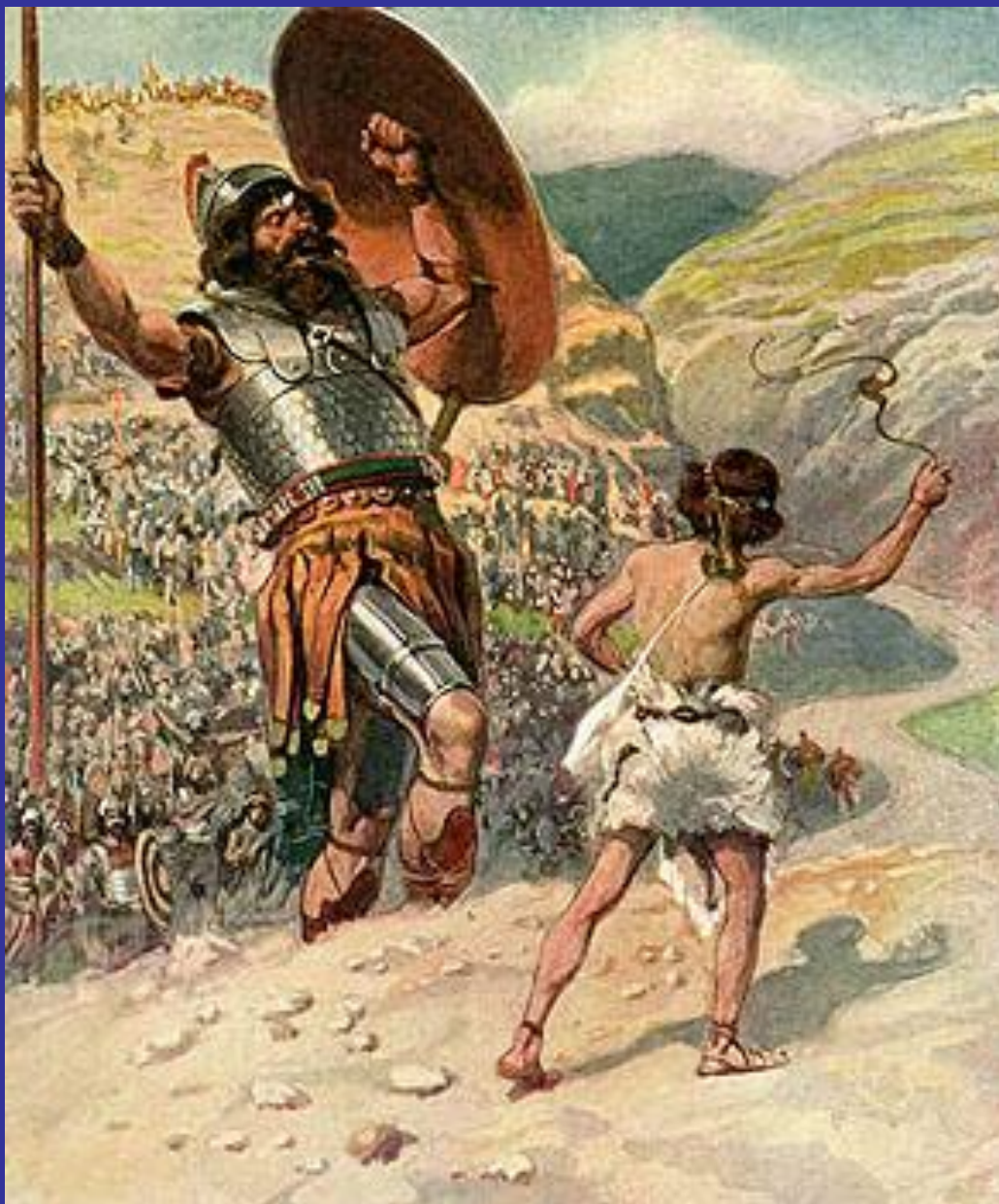


Macroadenoma GH-secernente: RMN ipofisi

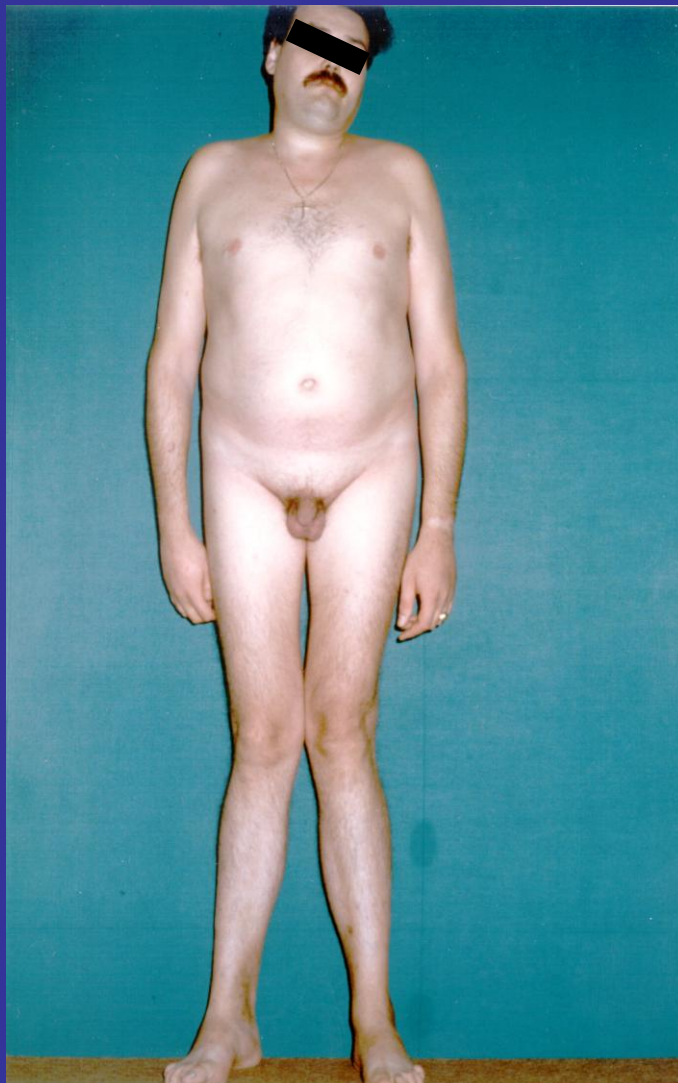


Emianopsia bitemporale

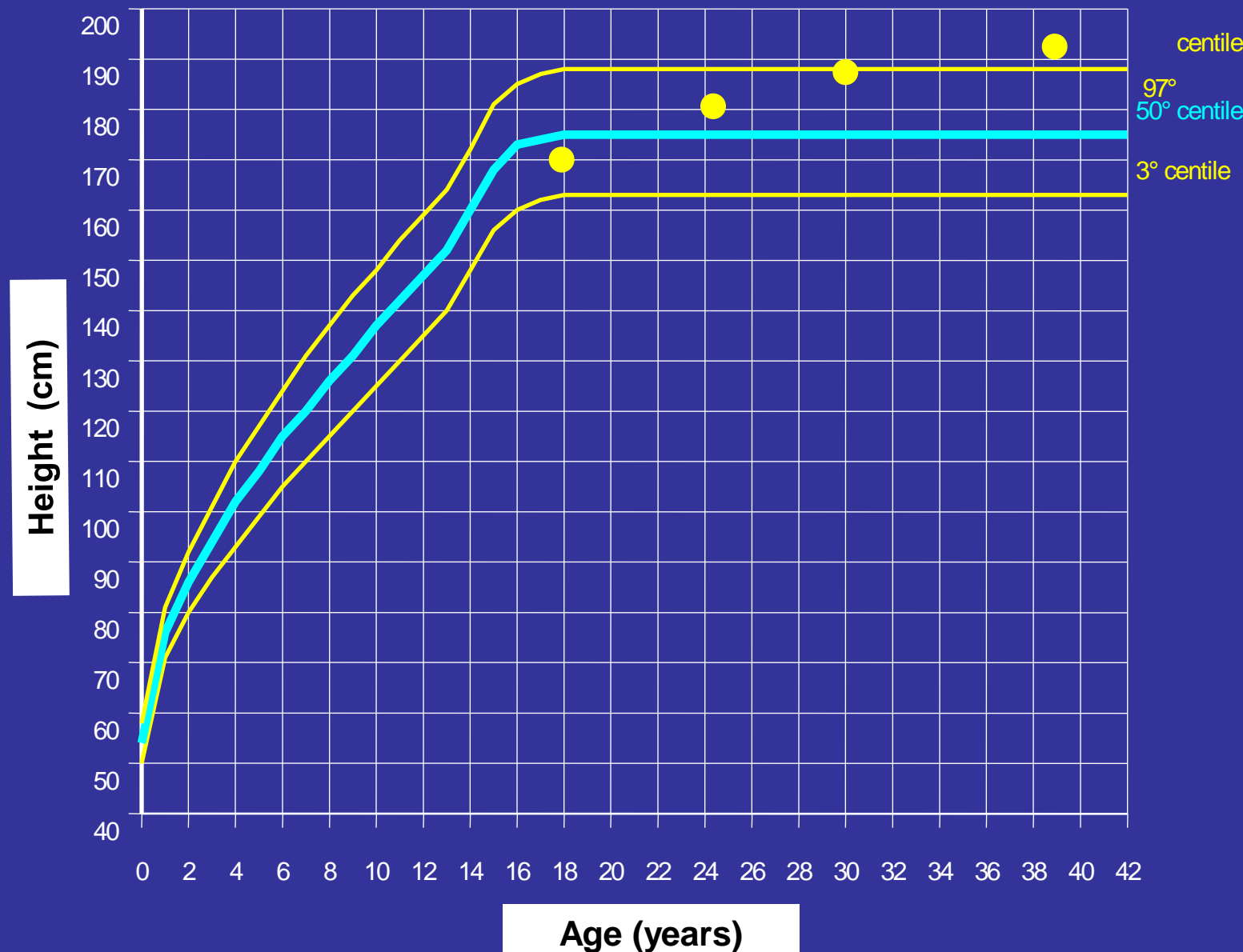


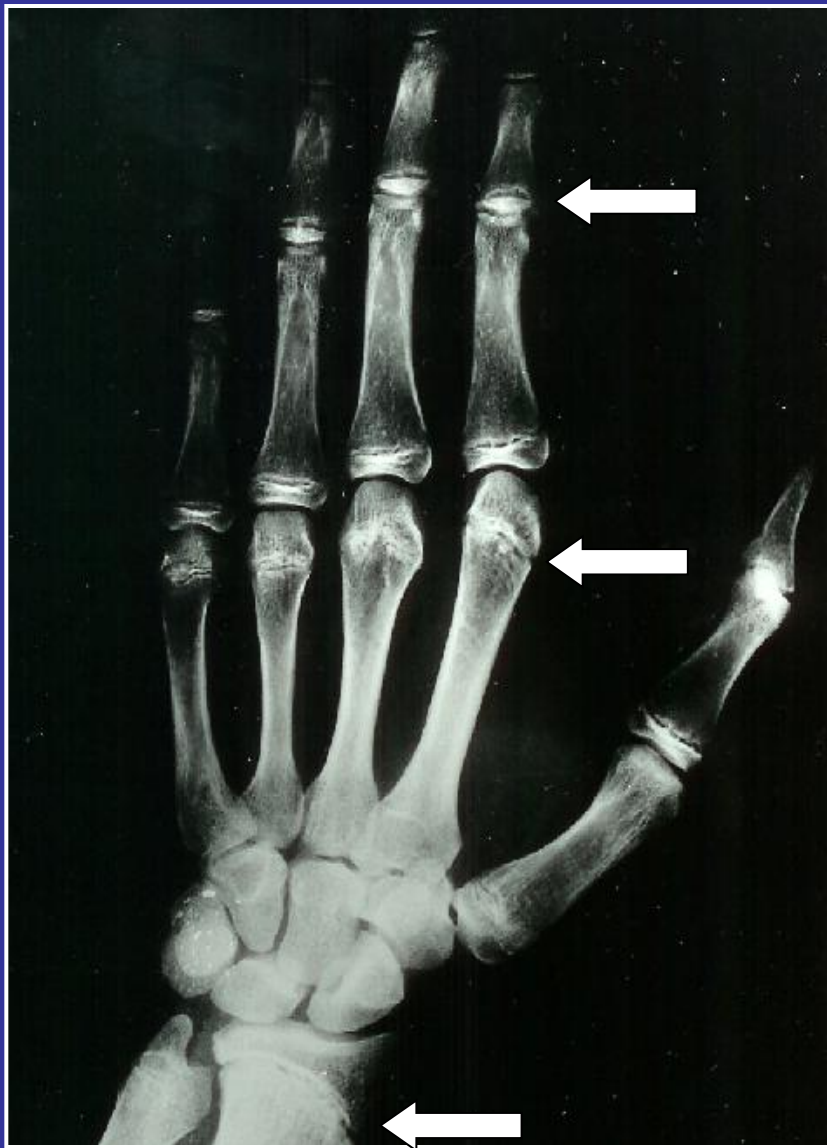


GIGANTISMO.....

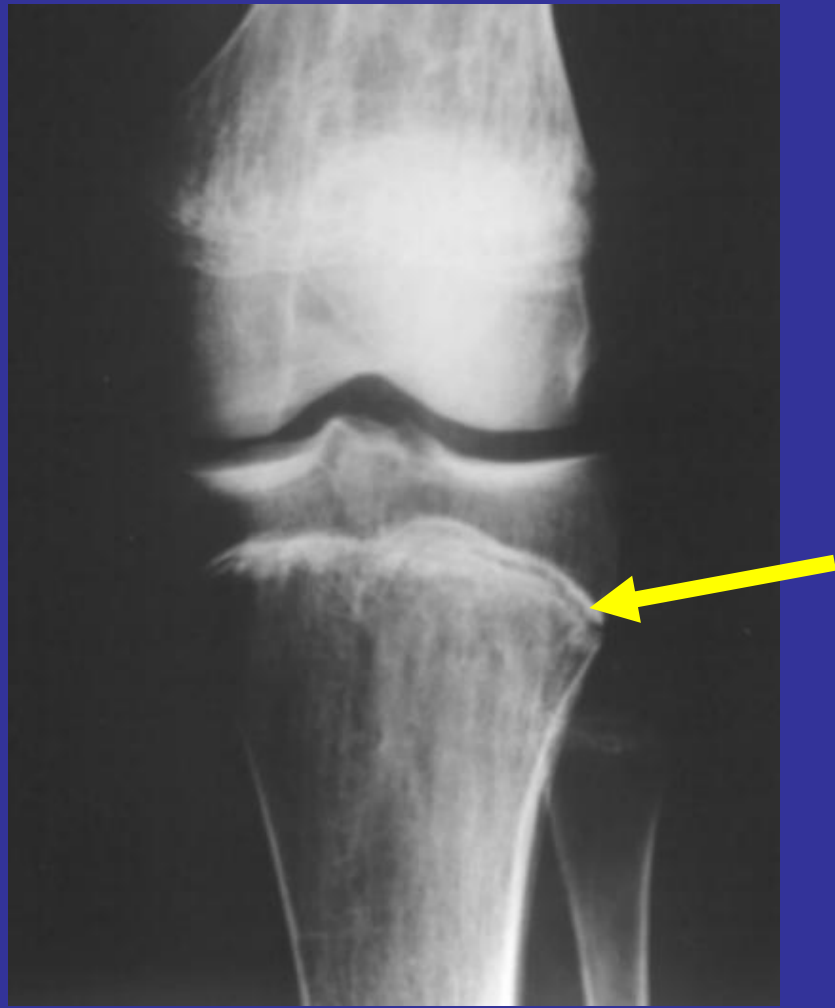


Persistent linear growth and undetectable estrogen's serum levels



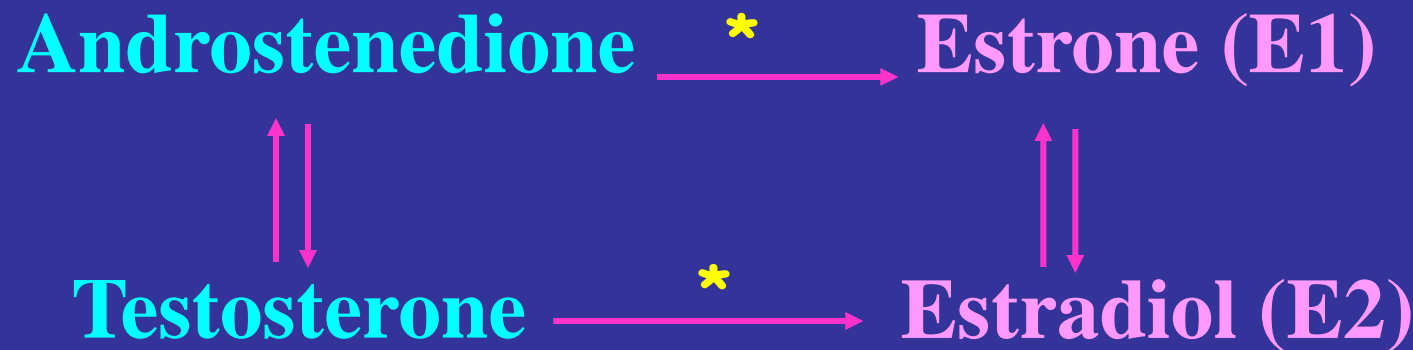


**Chronological age: 31 yr
Bone age: 14,8 yr**



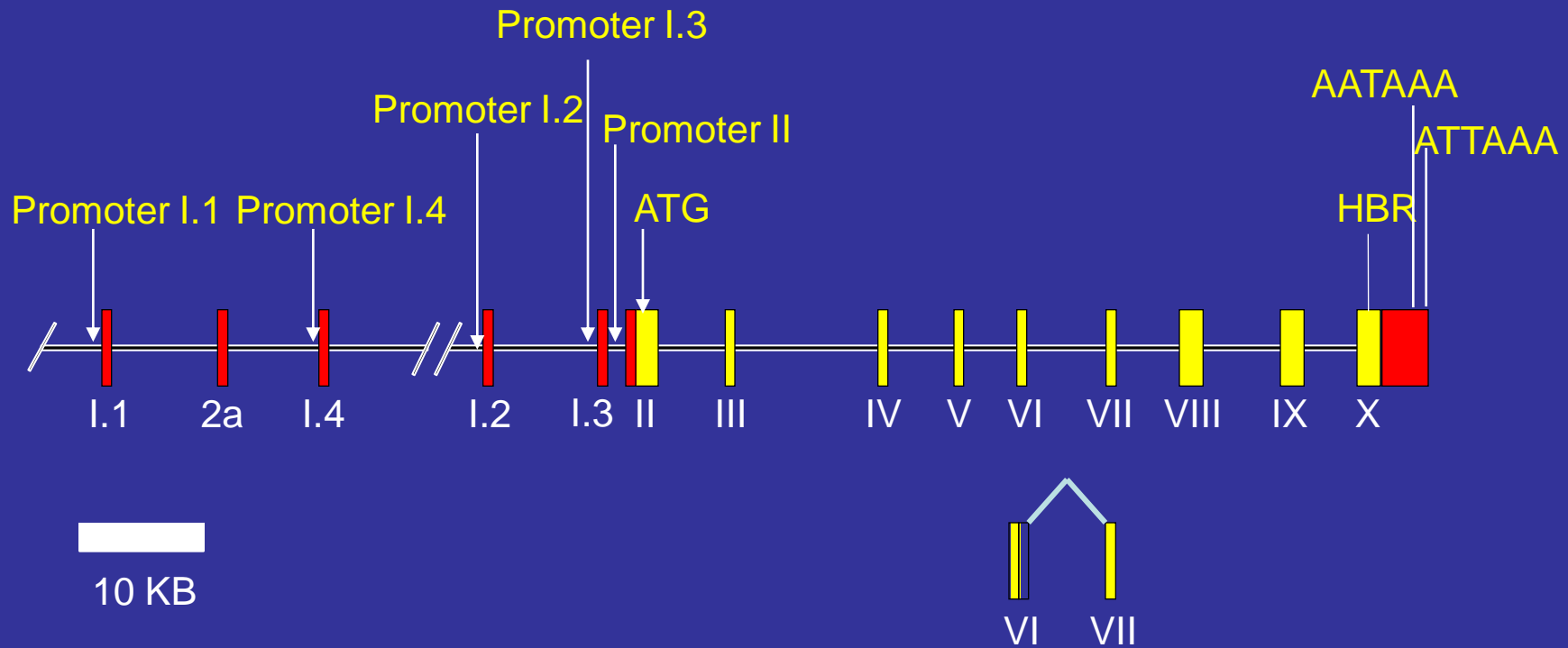
Chronological age: 31 yr
Bone age: 14,8 yr

Aromatase (P450 Arom): key-enzyme in estrogen's synthesis



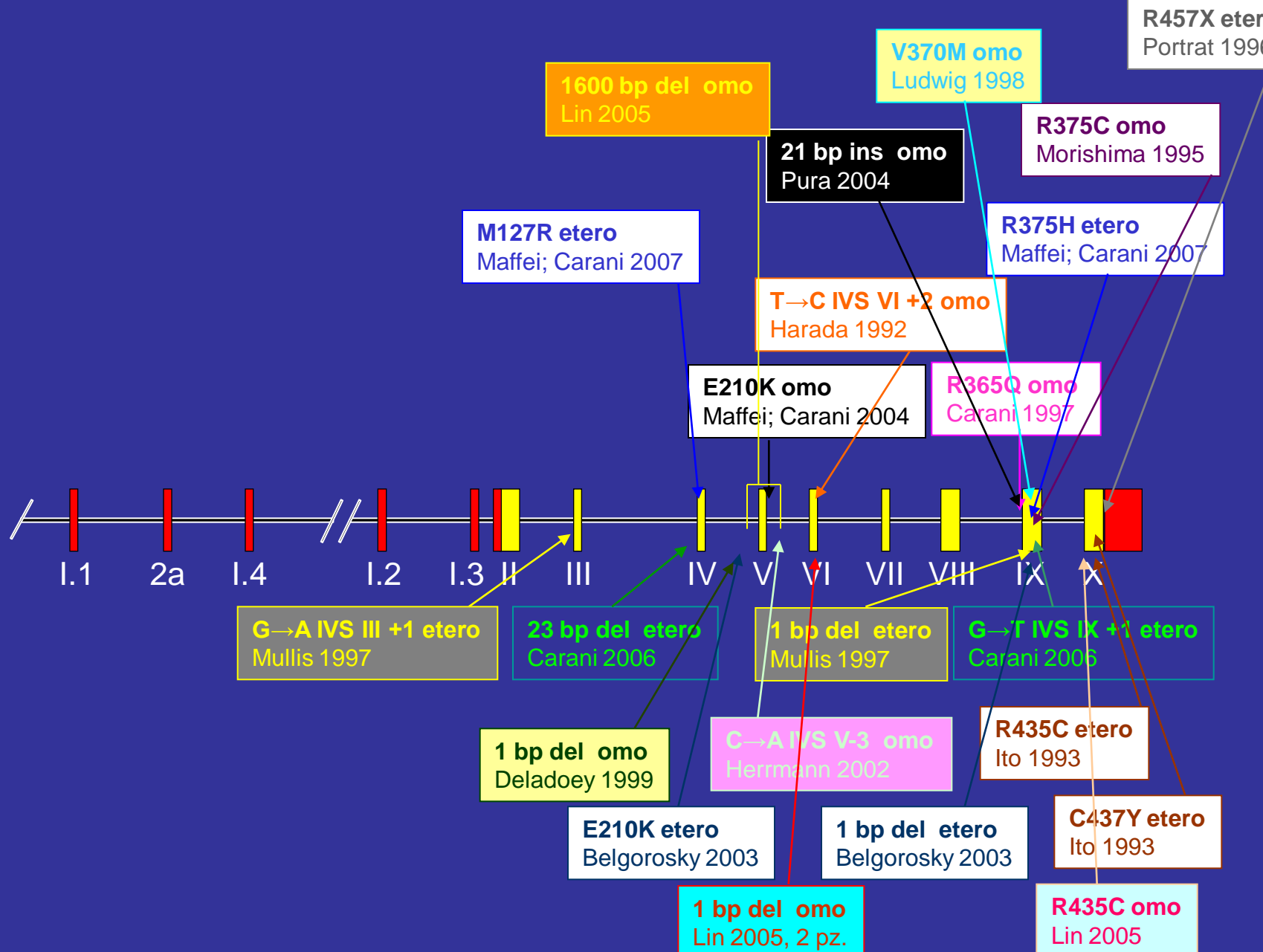
Enzymatic Complex: cytochrome P450
+
flavoprotein NADPH-P450 reductase

THE HUMAN AROMATASE GENE (CYP19)



Located on the long arm of chromosome 15 (q21.1)

AROMATASE MUTATIONS IN HUMAN MALES and FEMALES



AROMATASE DEFICIENCY

Patients studied in Modena and Buenos Aires

ITALY

Homozygous
R365Q in exon IX



ARGENTINA

Homozygous
E210K in exon V



ARGENTINA

Compound heterozygous
M127R in exon IV
R375H in exon IX



ITALY

Compound heterozygous:
23 bp deletion in Exon IV
G to T IVS IX +1



Carani
NEJM 1997

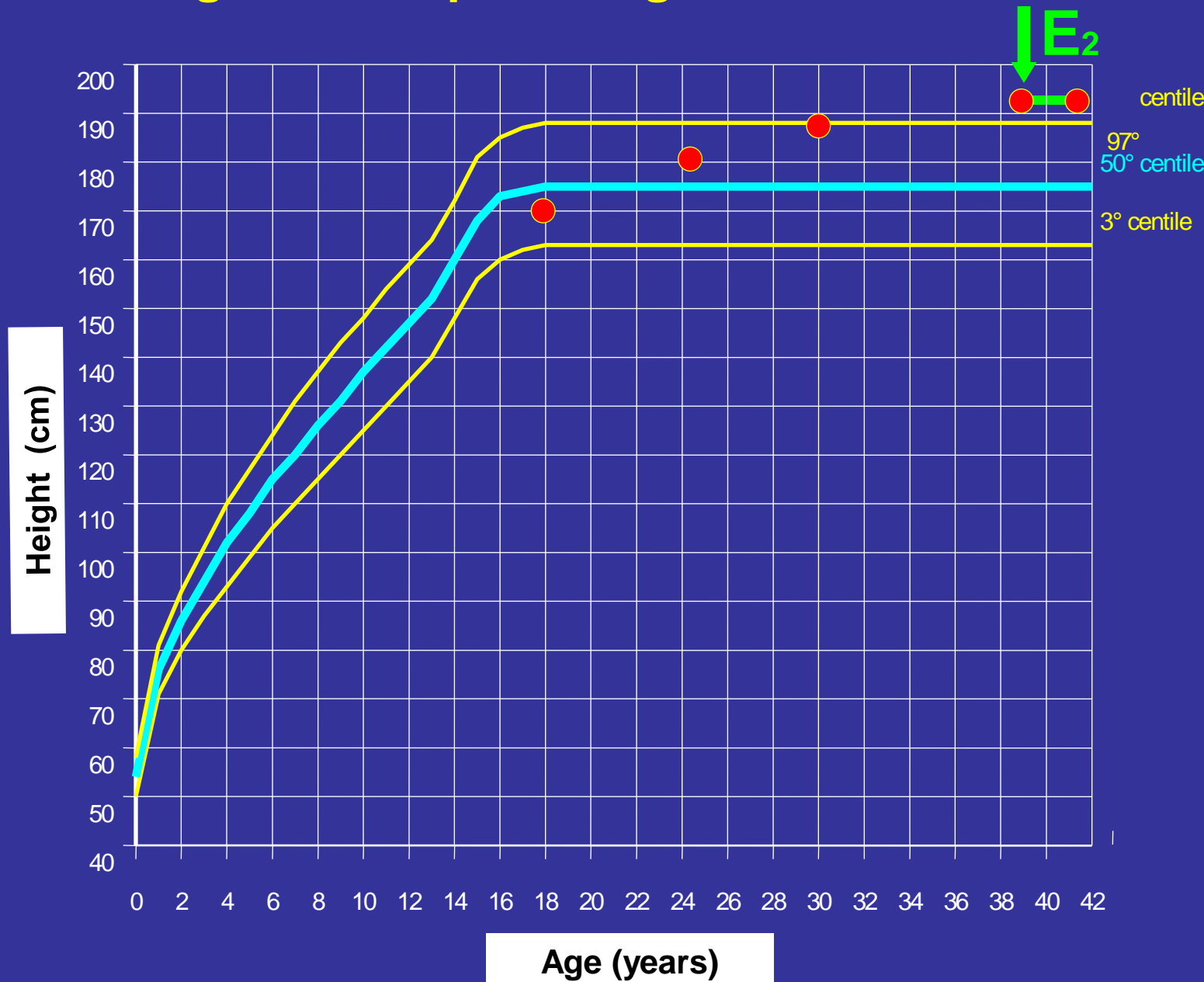
Carani, Maffei
JCEM 2004

Carani, Maffei
Clin Endocrinol 2007

Carani, Aimaretti
J Endocrinol Invest 2007

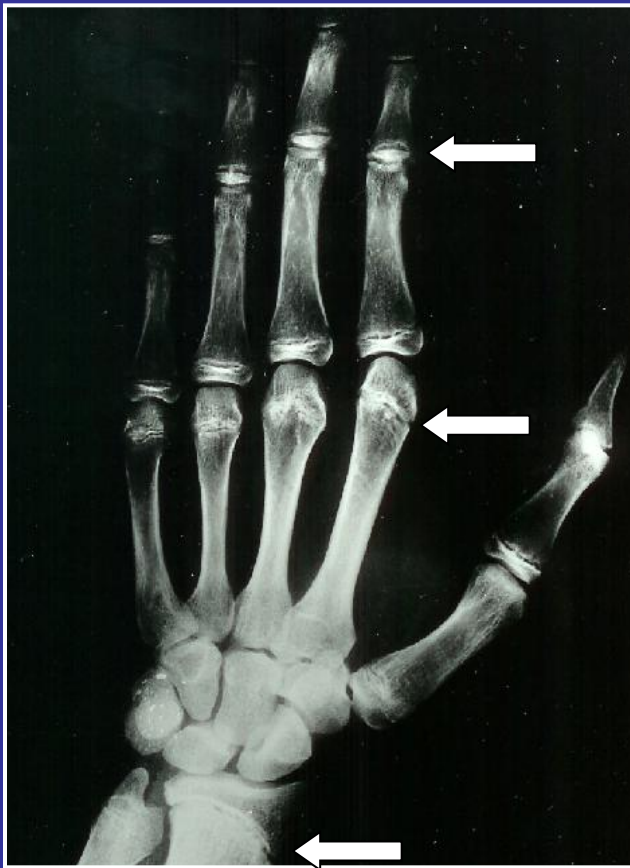
AROMATASE DEFICIENCY (I.R.)

Linear growth stops during estradiol treatment



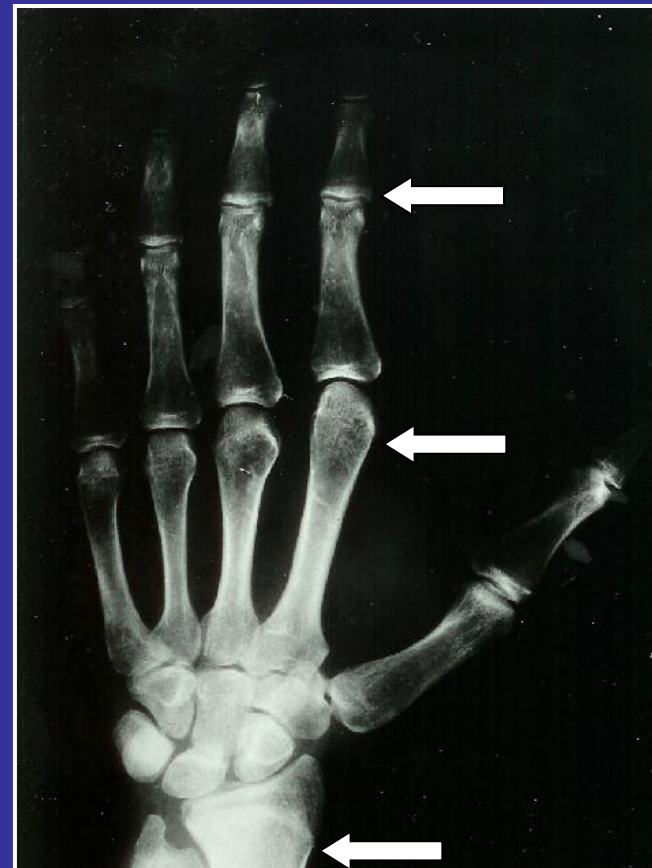
Unfused epiphyses and delayed skeletal maturation

Adult man with Aromatase Deficiency
Before and during E2 treatment



Before treatment

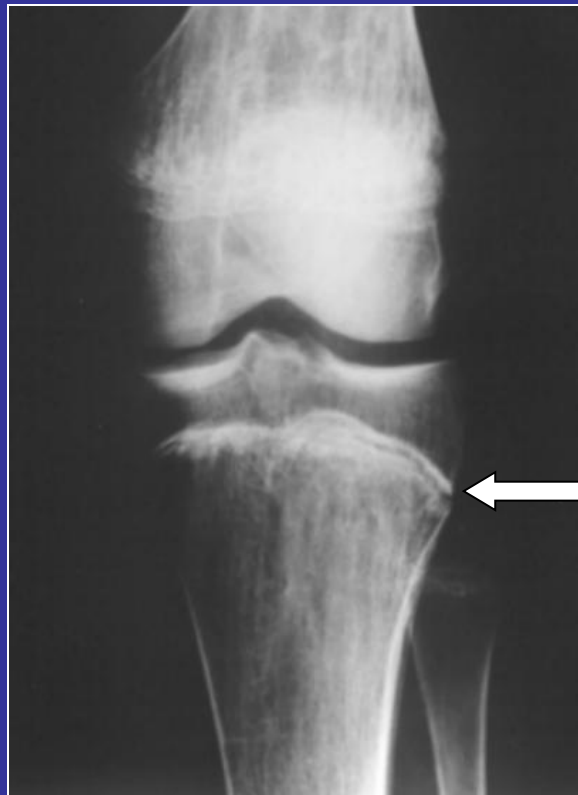
Chronological age: 31 yr
Bone age: 14,8 yr



After estradiol 50 µg twice weekly
(6 months)

Carani, NEJM 1997

Adult man with Aromatase Deficiency Before and during E2 treatment



Before treatment



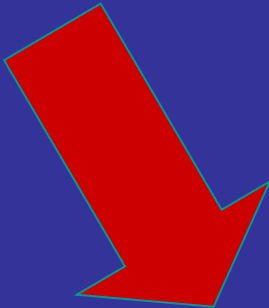
After 10 months estradiol treatment

**Chronological age: 31 yr
Bone age: 14,8 yr**

Carani, NEJM 1997

ESTROGEN ROLE IN THE HUMAN MALE

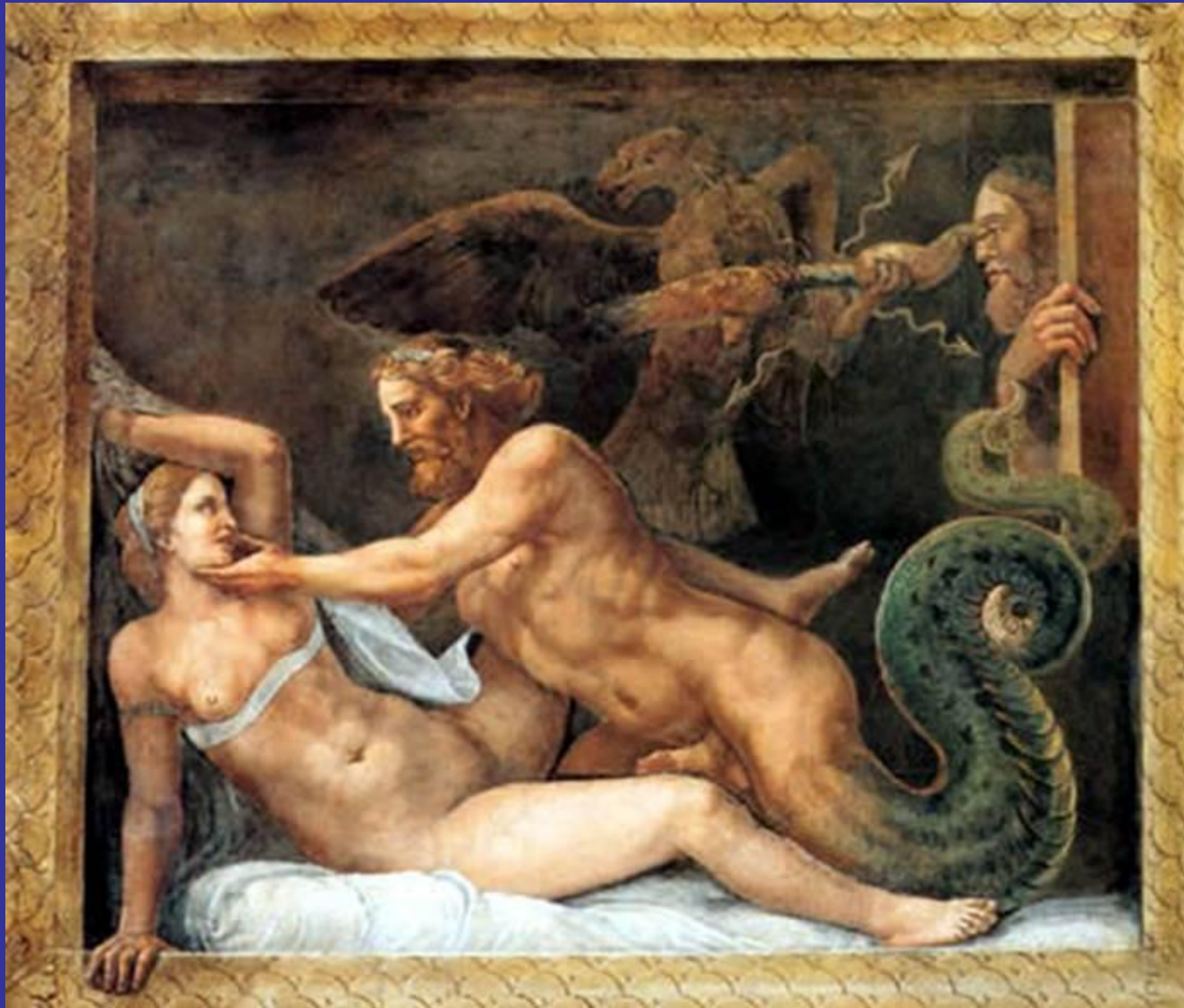
ESTROGENS



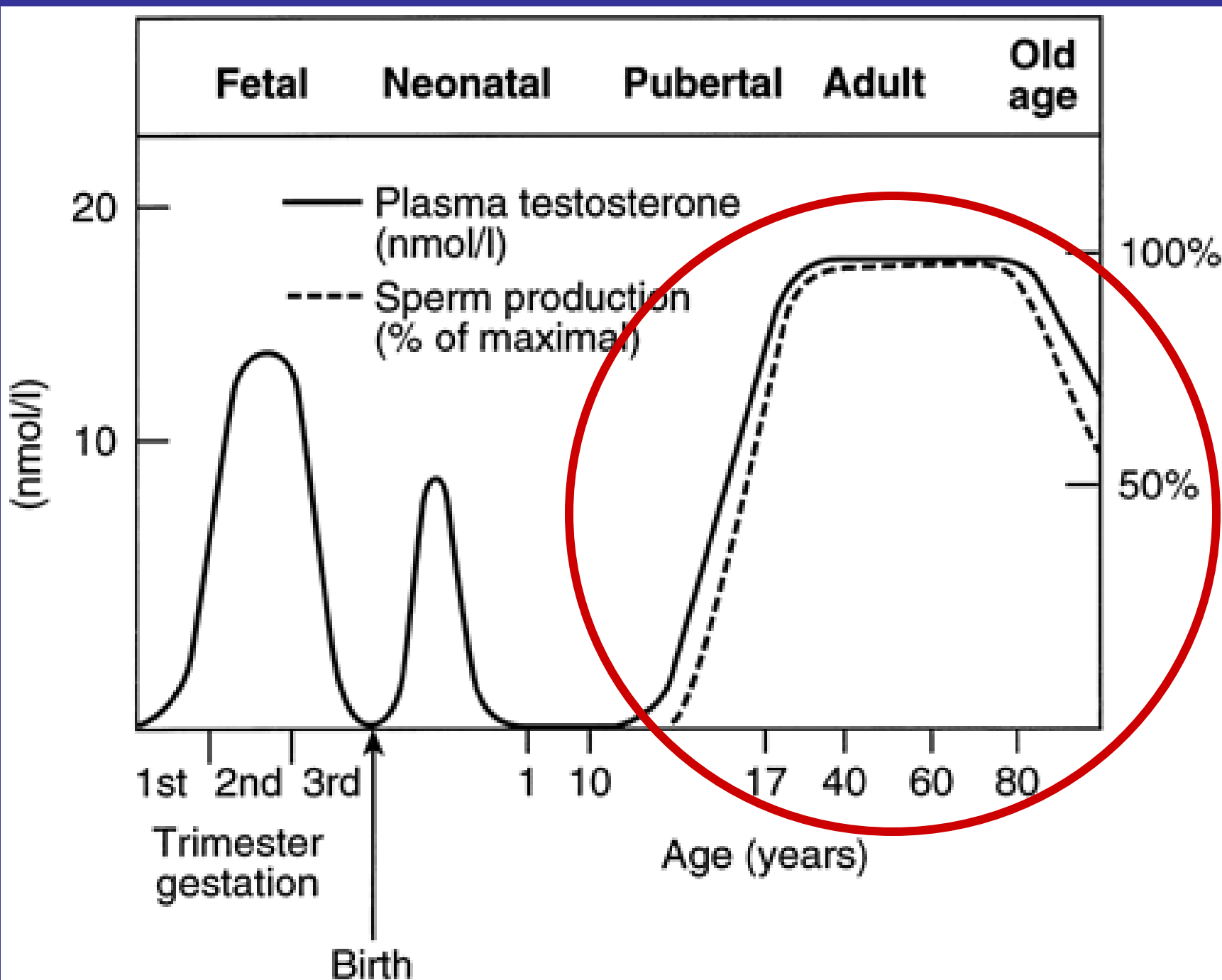
BONE

- Epiphyseal closure and growth arrest
- Induction of pubertal growth spurt
- Achievement and maintenance of normal skeletal proportions
- Achievement and maintenance of peak bone mass
- Inhibition of bone resorption

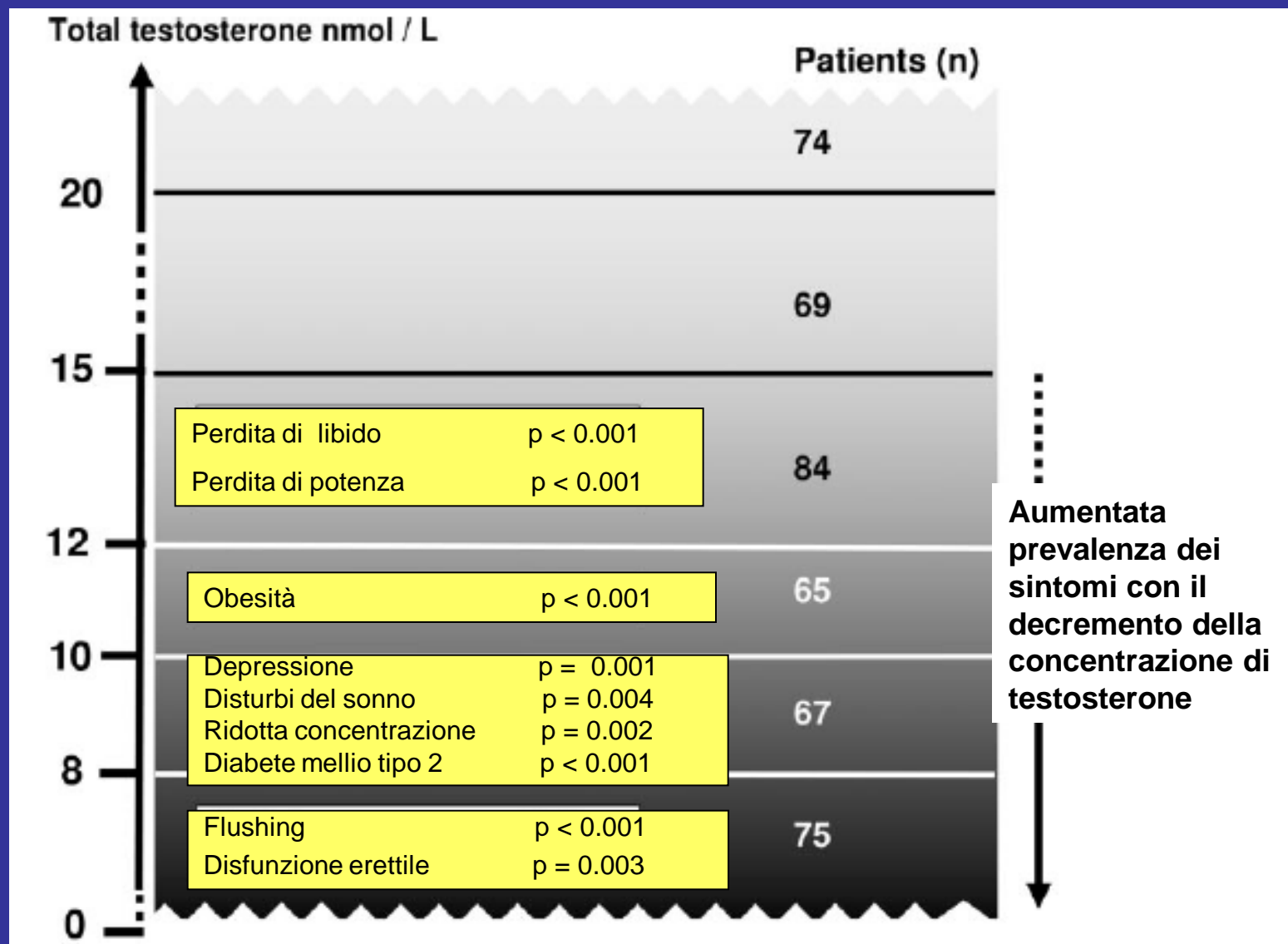
DISTURBI DELLA SESSUALITA' MASCHILE



Giulio Romano, Giove e Olimpia



Associazione di sintomi specifici e rischio metabolico con i livelli sierici di Testoterone in uomini anziani



Prevalenza del Deficit Erettivo in ITALIA



2010 uomini:
257 (12.8%) deficit erettivo
178 (70%) parziale
78 (30%) completo

Prevalenza D.E. in Italia



Mimnermo (630 a.C. - ?)

“....mi colga
a sessanta anni
il destino di morte.”

“ Che vita mai, che gioia senza Afrodite d'oro?
Ch'io sia morto quando più non mi stiano a
cuore
l'amore segreto, i dolci doni e il letto:
questi sono i fiori della giovinezza,
desiderabili
per gli uomini e le donne....”

NO

Fibre adrenergiche
toraco-lombari

nNOS

Ossido
nitrico

L-Arginina
 O_2

Cellula muscolare liscia

GTP

Guanylate
cyclase

cGMP

PDE5

5'GMP

cGMP-specific protein
kinase

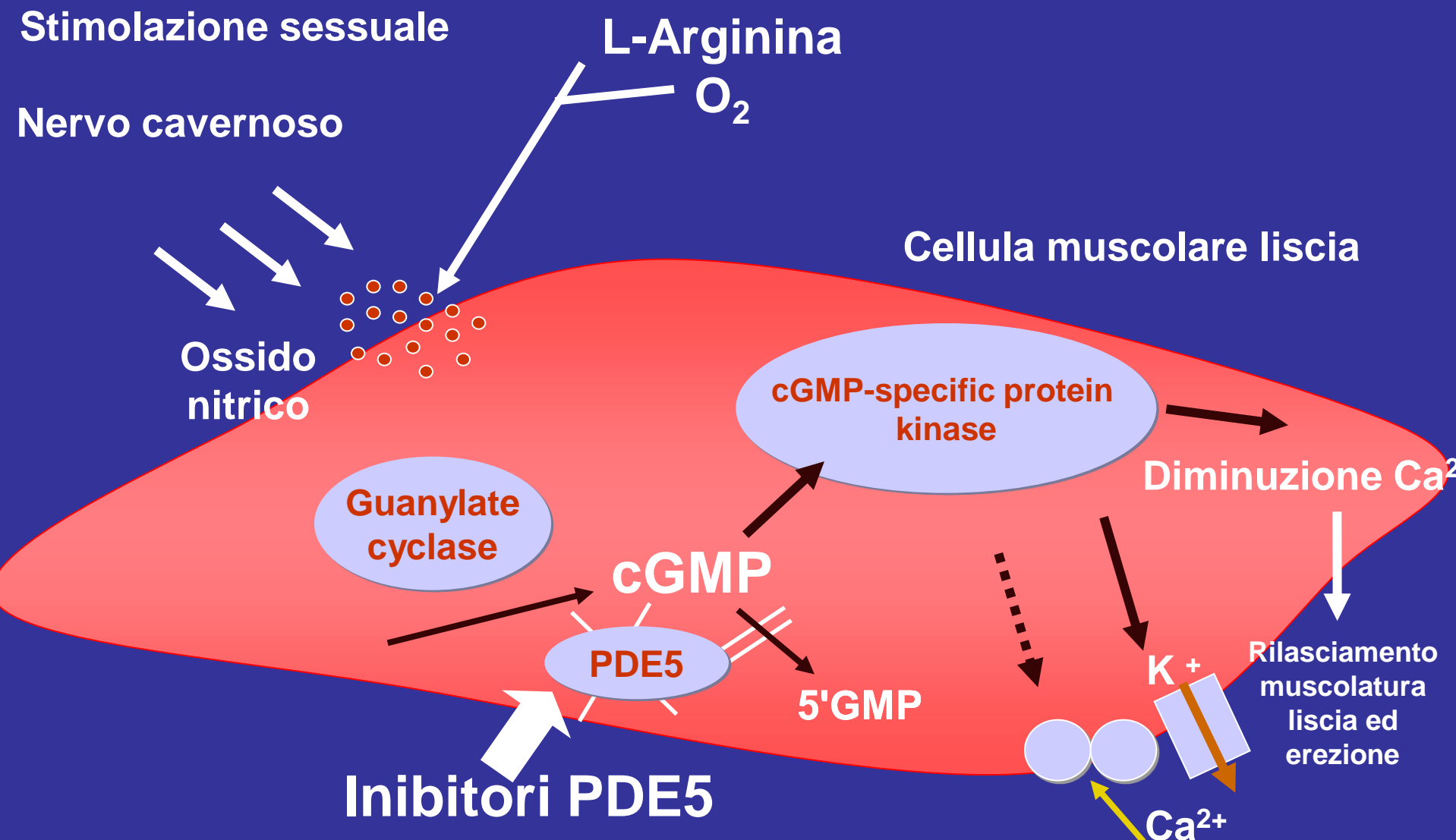
Diminuzione
 Ca^{2+}

Rilasciamento
muscolatura
liscia

Ca^{2+}



Meccanismo d'azione periferico



DISTURBI DELLA DIFFERENZIAZIONE SESSUALE



L'ermafrodito, Duomo di Modena

Normal sexual differentiation

XY

Genetic sex

XX

testis

Gonadal sex

ovary

internal
external
genitalia

hormonal control

internal
external
genitalia

Phenotypic sex

somatic features

endocrine,
social influences

somatic features

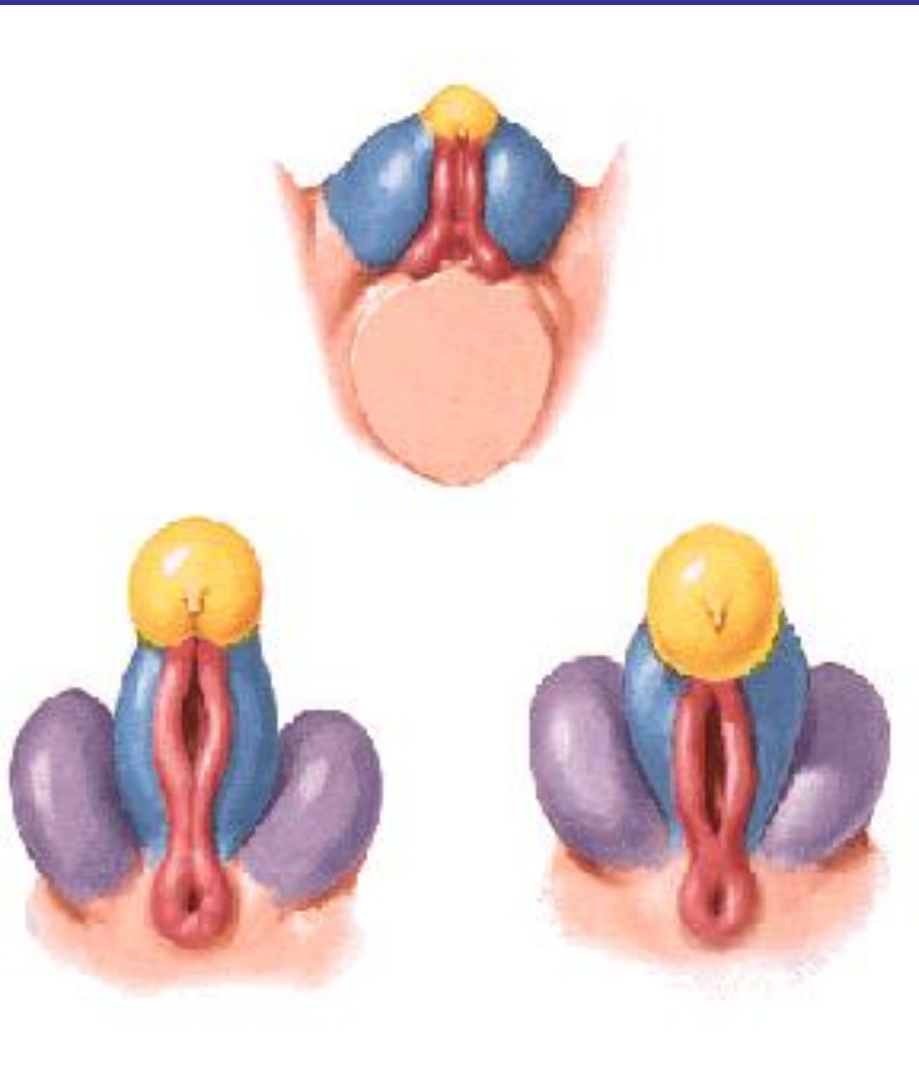
gender identity
gender role
sexual orientation
sexual behavior

Psychic sex
gender identity

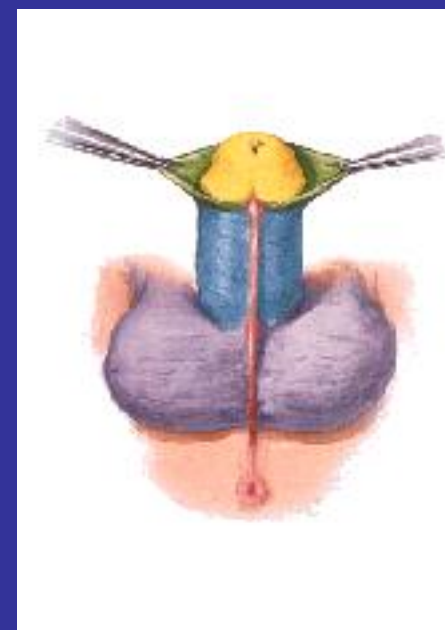
gender identity
gender role
sexual orientation
sexual behavior

Sesso fenotipico

Abbozzi genitali esterni fetali



Maschio



Femmina

DISORDERS of SEX DEVELOPMENT

XXY
(Sdr Klinefelter)

Chromosomal
sex

X
(Sdr Turner)

Testis

Gonadal sex

Ovary

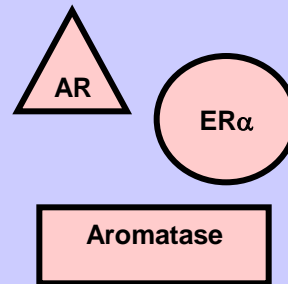
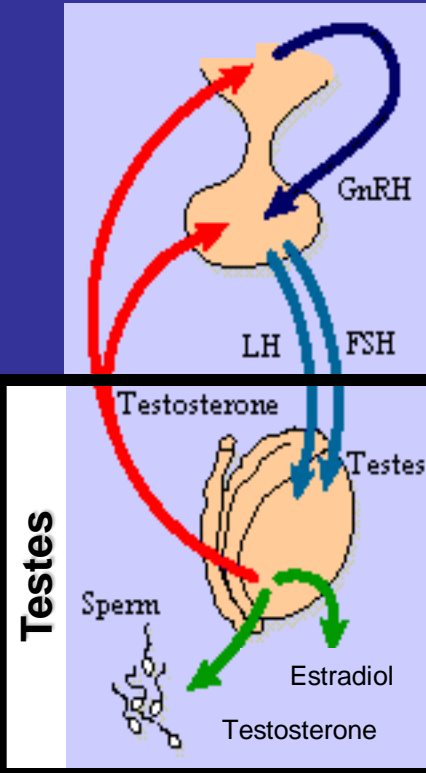
- Disorders of gonadal development
 - gonadal dysgenesis
(SF1, SRY etc)
- Disorders of androgen synthesis
- Disorders of androgen action

- Disorders of gonadal development
 - ovotesticular DSD
- Androgen excess

IPOGONADISMO IPERGONADOTROPO

Sindrome Klinefelter

- La anomalia congenita più frequentemente causa di ipogonadismo ipergonadotropo in maschi.
- Frequenza: 1/500 maschi nati vivi
- Chromosoma X sovrannumerario
- Il genotipo più frequente è 47, XXY.



DISORDERS of SEX DEVELOPMENT

XXY
(Sdr Klinefelter)

**Chromosomal
sex**

X
(Sdr Turner)

Testis

Gonadal sex

Ovary

- Disorders of gonadal development
 - gonadal dysgenesis (SF1, SRY etc)
- Disorders of androgen synthesis
- Disorders of androgen action

- Disorders of gonadal development
 - ovotesticular DSD
- Androgen excess



Sindrome di Turner

DISORDERS of SEX DEVELOPMENT

XXY
(Sdr Klinefelter)

Chromosomal sex

X
(Sdr Turner)

Testis

Gonadal sex

Ovary

- Disorders of gonadal development
 - gonadal dysgenesis
(SF1, SRY etc)

- Disorders of androgen synthesis
- Disorders of androgen action

- Disorders of gonadal development
 - ovotesticular DSD
- Androgen excess

Amenorrea primaria

D. V. 23 anni

Altezza 169 cm

Genitali esterni femminili, canale vaginale normale

Minimo sviluppo delle ghiandole mammarie (B2)

Peli pubici da adulta (P5) Ircarca +++++

Non irtsutismo



cariotipo 46, XY

Verifica molecolare del crom Y: confermata la presenza di loci appartenenti sia al braccio corto (ZFY, SRY) che al braccio lungo (sY84, sY86, sY127, sY134, sY254, sY255) del cromosoma Y

Gene SF1: mutato

DISORDERS of SEX DEVELOPMENT

XXY
(Sdr Klinefelter)

**Chromosomal
sex**

X
(Sdr Turner)

Testis

Gonadal sex

Ovary

- Disorders of gonadal development
 - gonadal dysgenesis
(SF1, SRY etc)
- Disorders of androgen synthesis
- Disorders of androgen action

- Disorders of gonadal development
 - ovotesticular DSD
- Androgen excess

Amenorrea primaria

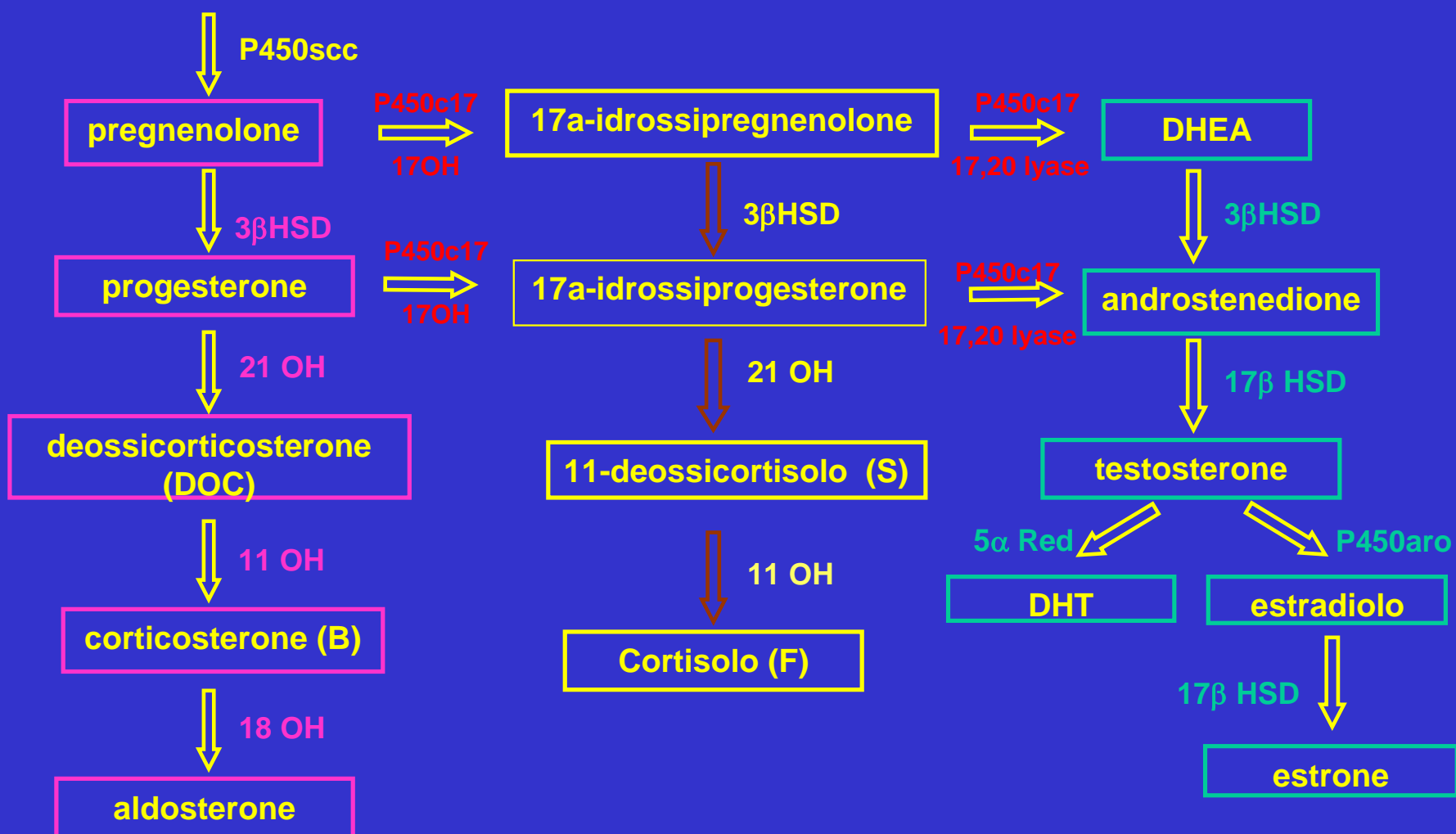


ACTH ore 8: 721 pg/ml(5-60)
Progesterone: 11,14 ng/ml (0,2-1,4)

- Cortisolo ore 8: 3,7 mcg/dl (6,2-19,4)
- T.Totale: 0.5 ng/ml (3-7.5)
- DHEAS: 24,07 mcg/dl(100-300)
- Androstenedione: 0,04 ng/ml(0,1-3)
- 17beta E2: 5,01 pg/ml (13,5- 59,5)
- 17OH-Progesterone: 0,79 ng/ml(0,5-2,4)

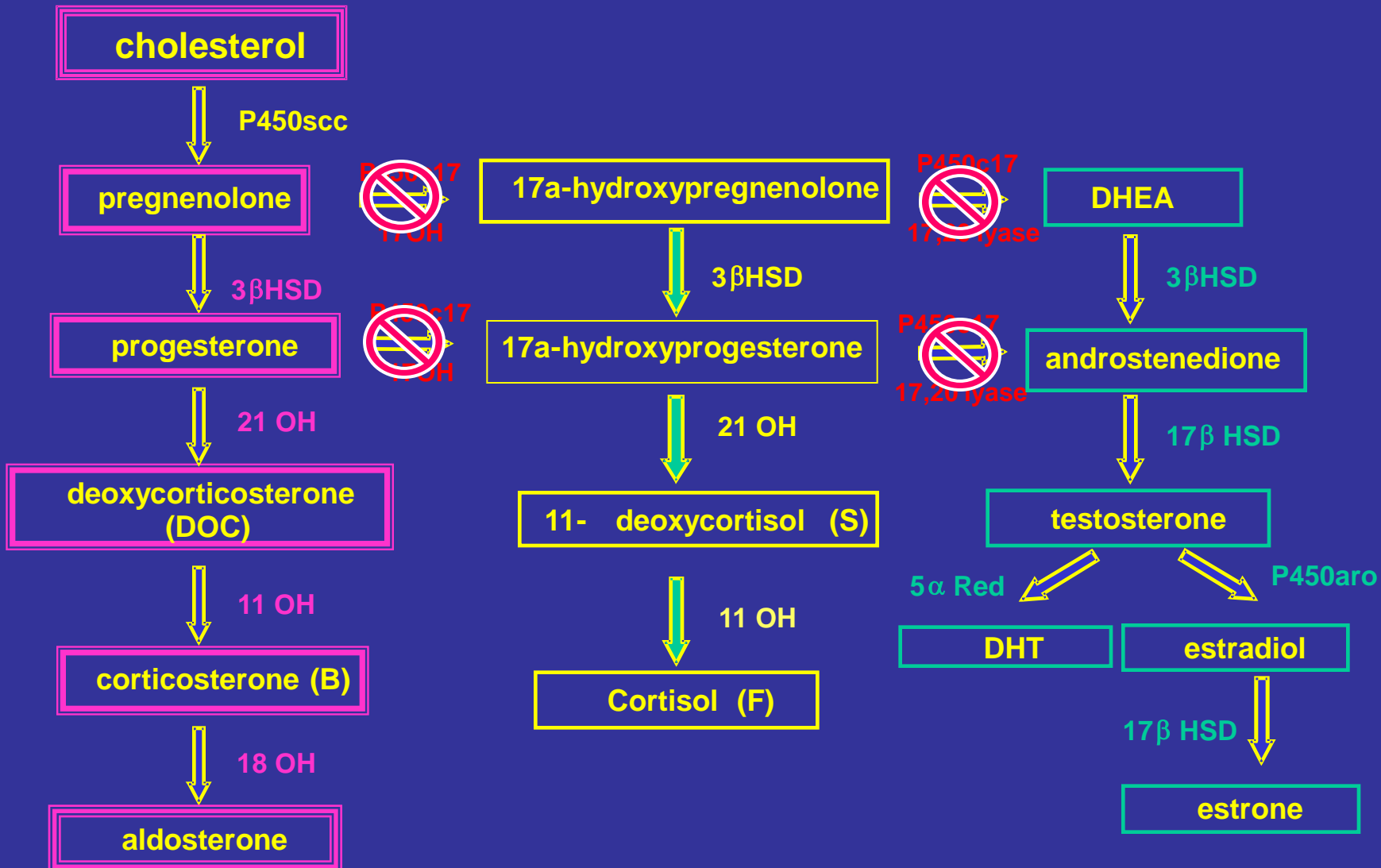
V.Z: 16 anni cariotipo XY

STEROIDOGENESI



STEROIDOGENESIS

17 α -Hydroxylase/17,20-lyase deficiency



DISORDERS of SEX DEVELOPMENT

XXY
(Sdr Klinefelter)

**Chromosomal
sex**

X
(Sdr Turner)

Testis

Gonadal sex

Ovary

- Disorders of gonadal development
 - gonadal dysgenesis
(SF1, SRY etc)
- Disorders of androgen synthesis
- Disorders of androgen action

- Disorders of gonadal development
 - ovotesticular DSD
- Androgen excess

Amenorrea primaria



- spontaneous pubertal growth spurt takes place
- spurt is quantitatively equal to that of normal girls
- spurt occurs at an appropriate chronological age for girls, but earlier for boys
- bone maturation corresponds better to chronological age for boys than for girls

cariotipo 46, XY

**ANDROGEN RESISTANCE
COMPLETE**

DISORDERS of SEX DEVELOPMENT

XXY
(Sdr Klinefelter)

**Chromosomal
sex**

X
(Sdr Turner)

Testis

Gonadal sex

Ovary

- Disorders of gonadal development
 - gonadal dysgenesis
(SF1, SRY etc)
- Disorders of androgen synthesis
- Disorders of androgen action

- Disorders of gonadal development
 - ovotesticular DSD

- Androgen excess

G.C., 15 years old

AT BIRTH: Hypospadias

AT PUBERTY:

Gynecomastia

Arise of E2 plasma levels and
slight arise of T

Gonadal biopsy: ovarian tissue

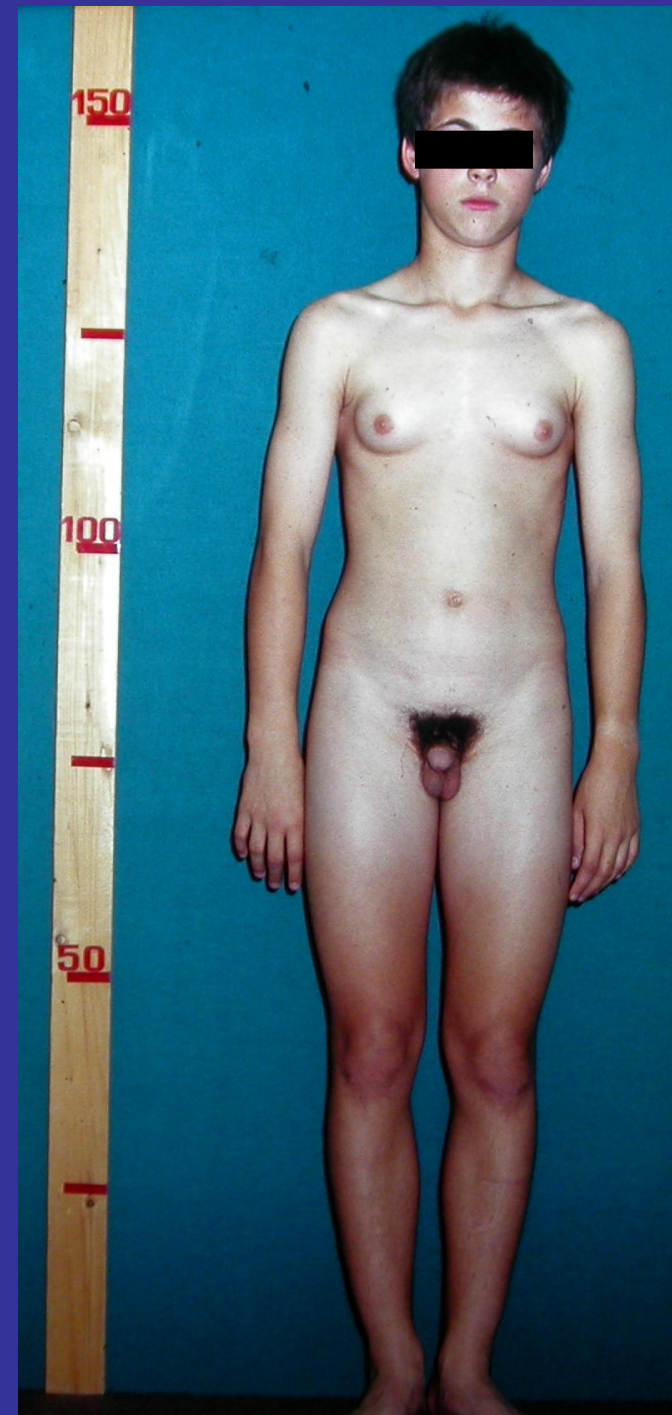
XX karyotype

NMR: uterus and prostate

Male gender identity

Male gender role

Male gender



DISORDERS of SEX DEVELOPMENT

XXY
(Sdr Klinefelter)

**Chromosomal
sex**

X
(Sdr Turner)

Testis

Gonadal sex

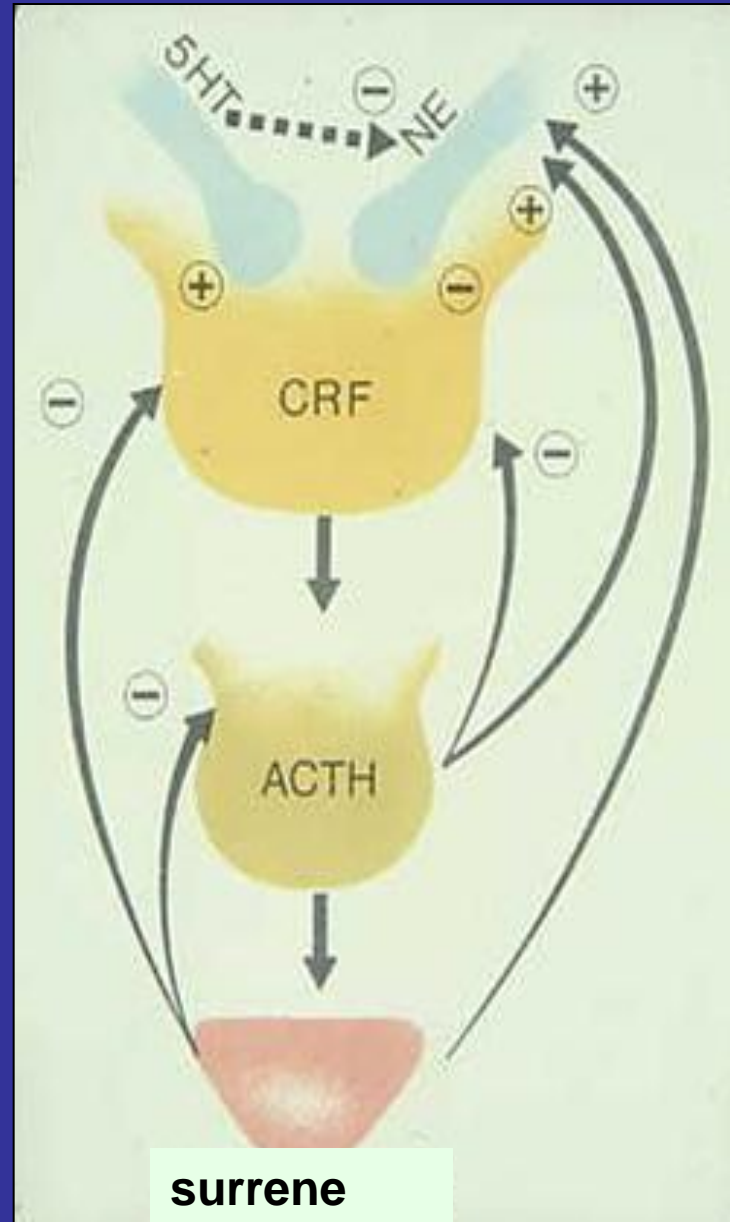
Ovary

- Disorders of gonadal development
 - gonadal dysgenesis
(SF1, SRY etc)
- Disorders of androgen synthesis
- Disorders of androgen action

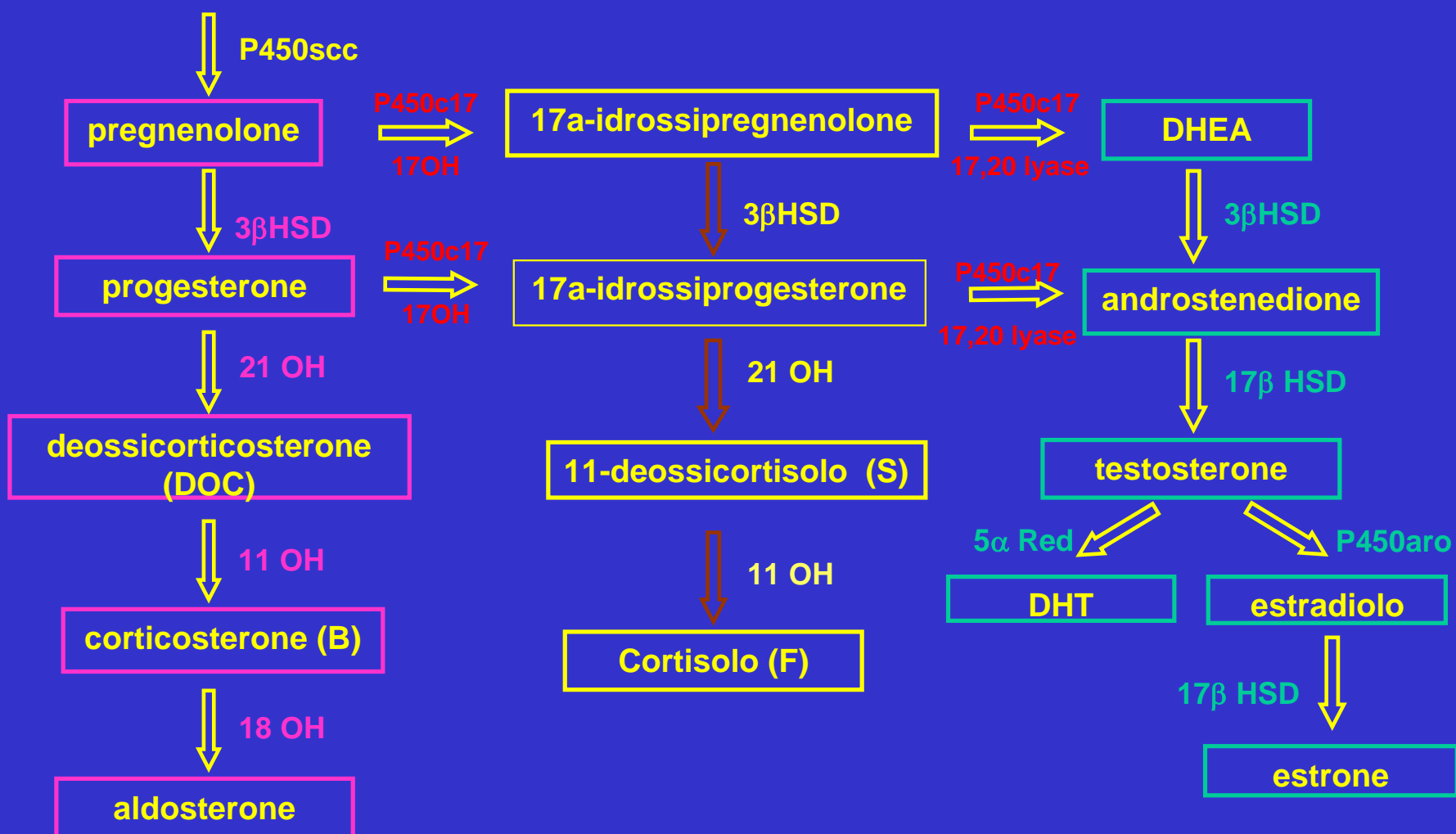
- Disorders of gonadal development
 - ovotesticular DSD

➤ Androgen excess

Asse ipotalamo- ipofisi-surrene

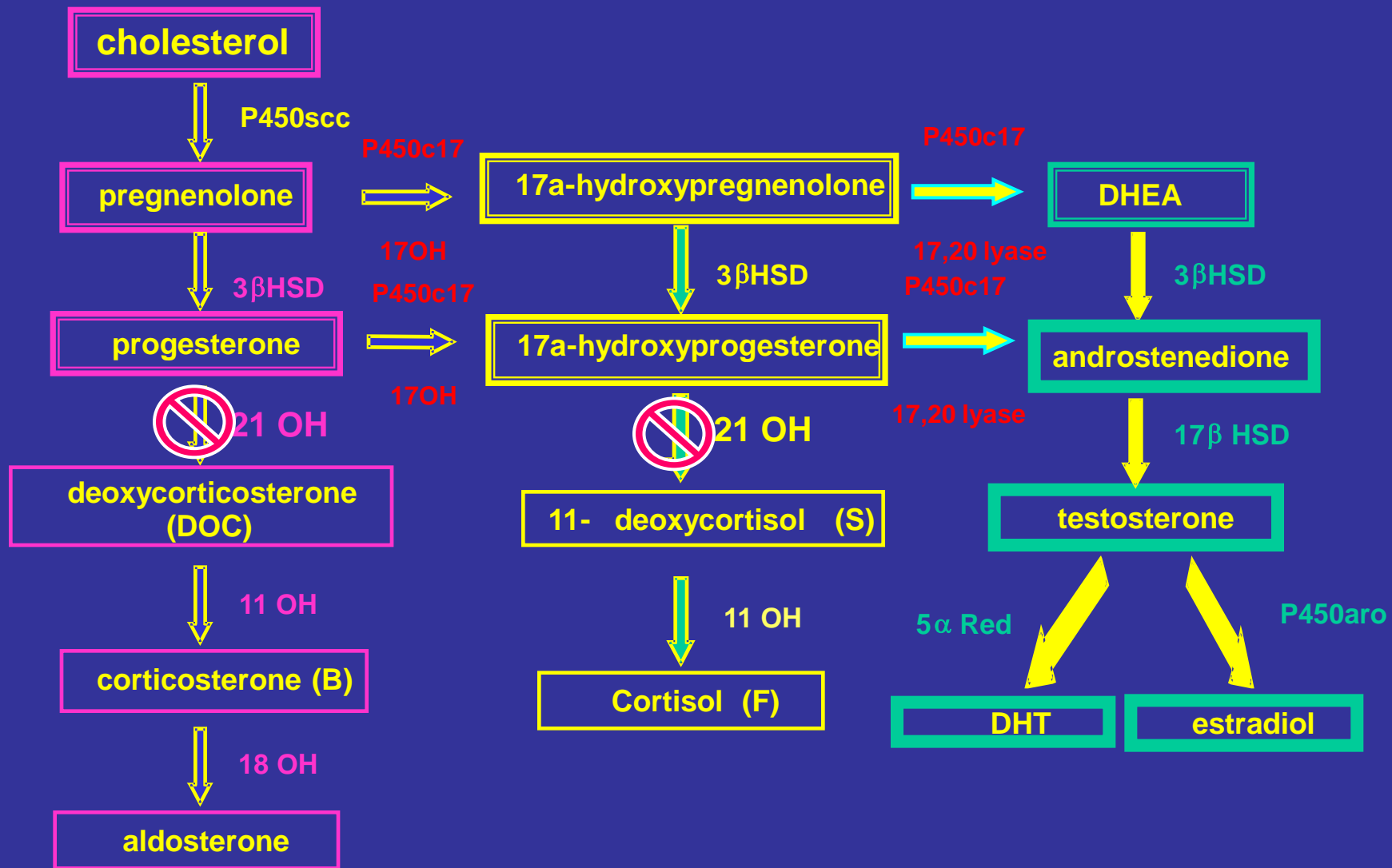


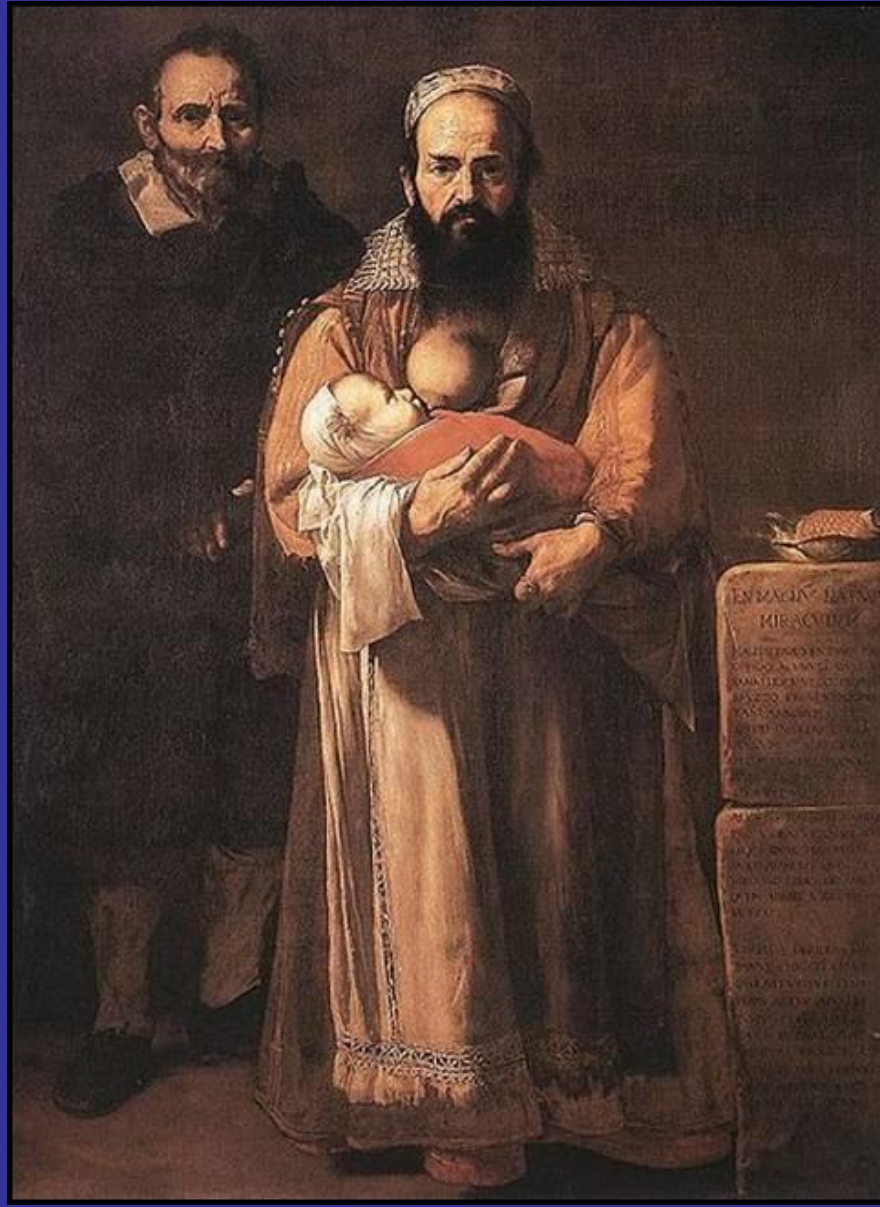
STEROIDOGENESI



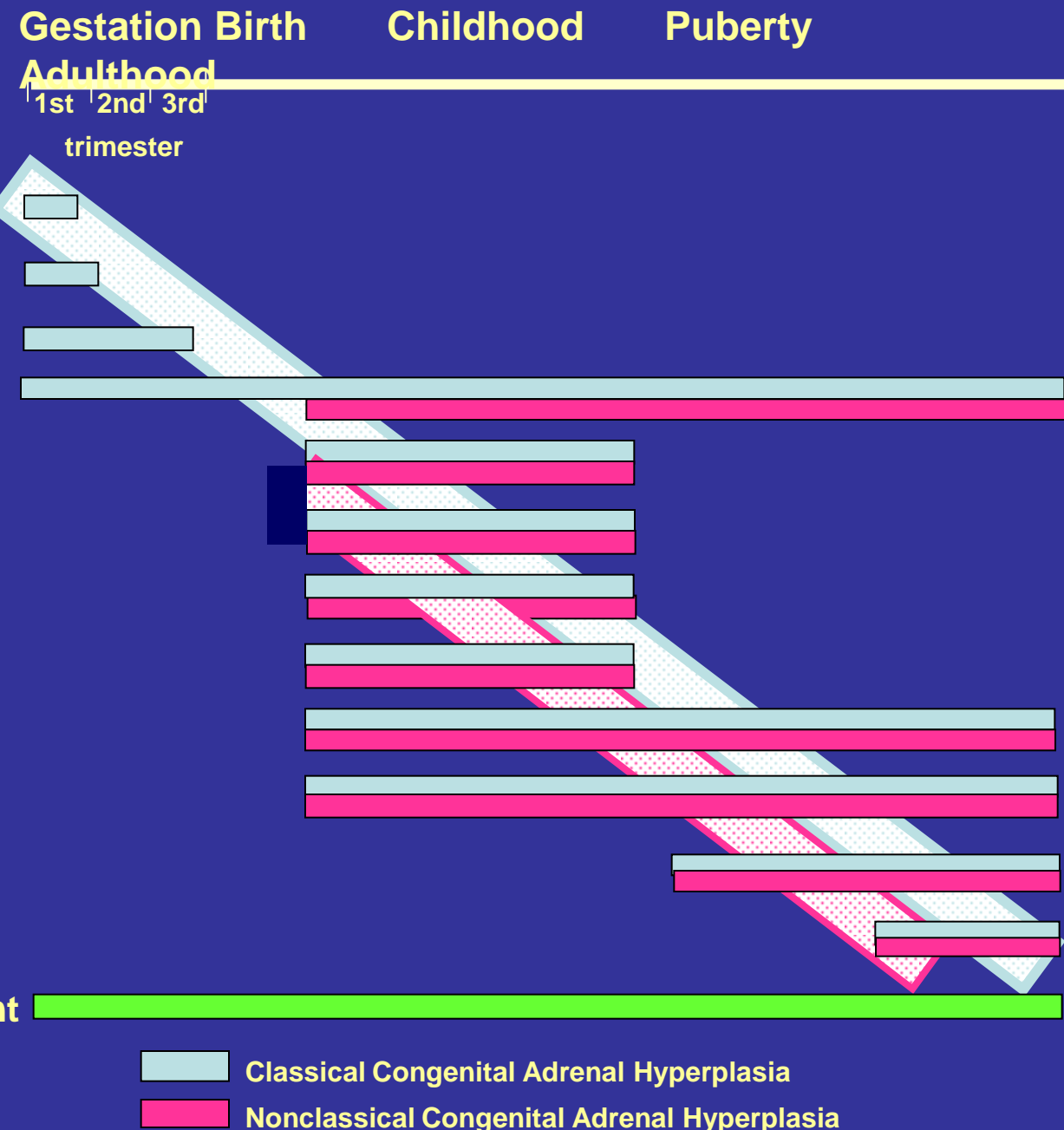
CONGENITAL ADRENAL HYPERPLASIA

21-HYDROXYLASE DEFICIENCY

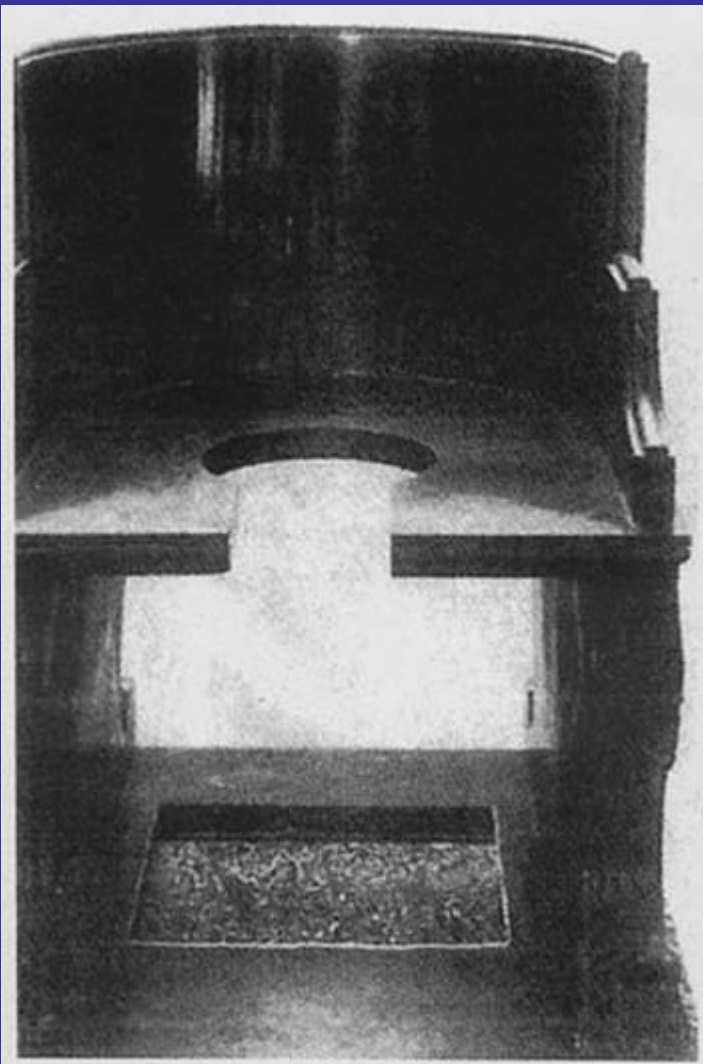




Ribera, La donna barbuta, 1631







Sesso psico-sociale



Femminielli napoletani, 1700



Romano, Palazzo Te, Mantova